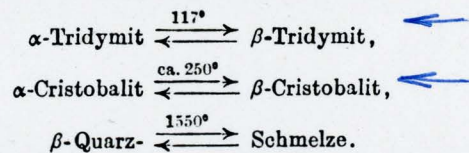


Weiterhin kommen als metastabile Formen noch vor: α -Tridymit und α -Cristobalit, sowie die unterkühlte Schmelze („Quarzglas“). Die im metastabilen Gebiete liegenden Umwandlungspunkte haben dabei (vgl. Fig. 108) die Werte:



Die Umwandlungsgeschwindigkeiten bei den verschiedenen Umwandlungspunkten sind (bei Abwesenheit umwandlungsbeschleunigender Lösungsmittel — „Mineralisatoren“ —) sehr gering. Daher kommt es, daß die durch Unterkühlung der Schmelze bzw. von β -Cristobalit oder β -Tridymit erhältlichen Formen des Quarzglasses bzw. α -Cristobalits oder α -Tridymits bei Zimmertemperatur „beständig“ (metastabil) sind, obwohl bei dieser Temperatur der α -Quarz die einzige wirklich stabile Form ist. Am „instabilsten“ ist bei Zimmertemperatur das Quarzglas, da es — vgl. Fig. 108 — gegenüber den anderen den größten Dampfdruck aufweist. Erhöht man durch andauern des Glühen die Geschwindigkeit der Umwandlung dieses glasig-amorphen Kieselglasses in den kristallinen Zustand, so „entgläst“ (= kristallisiert)

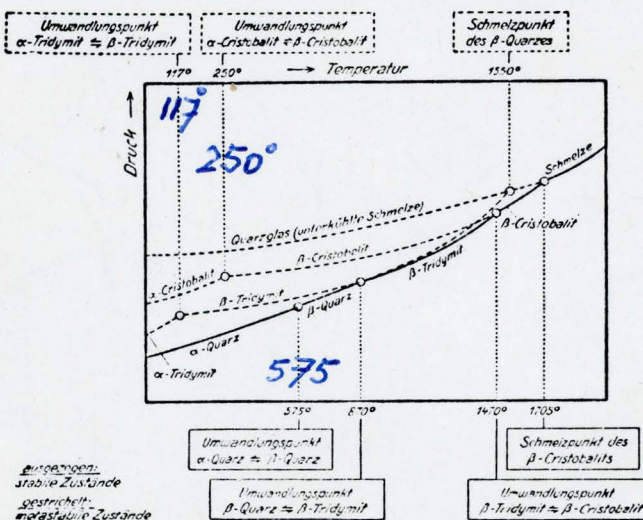


Fig. 108. Zustandsdiagramm des Siliciumdioxyds

es denn auch; und zwar geht es — der OSTWALDSchen Stufenregel (S. 189) entsprechend — in die nächst stabilere Form, den Cristobalit, über. Zur Kristallstruktur des Siliciumdioxyds vgl. S. 328.

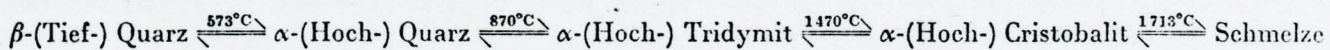
Die für den Chemiker wichtigste Form des Siliciumdioxyds ist das „Quarzglas“ und das „Quarzgut“. Sie entsteht beim Schmelzen von kristallinem Quarz (Bergkristall für Quarzglas, Quarzsand für Quarzgut) und Abkühlen der Schmelze. Schmilzt und entgast man völlig, so erhält man klar durchsichtiges, luftblasenfreies Quarzglas; begnügt man sich mit einem nur teilweisen Schmelzen („Sintern“) und Entgasen, so entsteht durchscheinend weißes, seidenglänzendes, von zahlreichen Luftpässchen durchsetztes Quarzgut. Quarzglas und Quarzgut („Vitreosil“, „Dioxsil“, „Siloxyd“, „Sinterquarz“) werden viel zu Schalen, Tiegeln, Destillierkolben und sonstigen chemischen Geräten gegossen, verformt oder geblasen. Die Hauptschwierigkeit bei der Herstellung solcher Geräte besteht in der Vermeidung der Kristallisation (vgl. oben), welche bei den hohen Temperaturen nahe dem Schmelzpunkt während des Abkühlens leicht ausgelöst wird. Quarzgut dient zur Herstellung ganzer chemischer Großapparaturen (z. B. zur Konzentrierung von Schwefelsäure, zur Fabrikation von Salzsäure). Der Vorzug der Quarzgeräte und -apparaturen liegt in ihrer chemischen Widerstandsfähigkeit, ihrer schweren Schmelzbarkeit und in ihrem

2 SiO₂

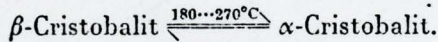
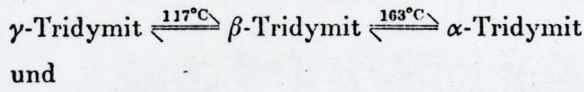
2 SiO₂

Kristalline Modifikationen von SiO₂ [66] [67]

Die bei verschiedenen Temperaturen unter „normalen“ Drücken existenten kristallinen Modifikationen des SiO₂ sind: α - und β -Quarz; α -, β - und γ -Tridymit; α - und β -Cristobalit. Die Stabilitätsgebiete dieser Modifikationen wurden von FENNER [68] (s. Bild IV-2) bestimmt. Danach besteht folgende Reihe enantiotroper Umwandlungen:



Außerdem können sich Tridymit und Cristobalit bei tieferen Temperaturen in metastabile Modifikationen umwandeln:



Die Umwandlungen zwischen den Hoch- und Tiefformen verlaufen relativ schnell und spontan; während der Übergang von Quarz in Tridymit und von Tridymit in Cristobalit relativ langsam und meist nur in Gegenwart von Mineralisatoren vor sich geht, so daß sich diese Modifikationen auch leicht überhitzen lassen; auf diese Weise konnte beispielsweise der Schmelzpunkt von α -(Hoch-) Quarz zu $\approx 1450^\circ\text{C}$ als wahrscheinlichster Wert bestimmt werden (s. [67]). (Die angegebenen Werte schwanken zwischen 1450 und 1770°C .) Entsprechend ihrer geringen Umwandlungsgeschwindigkeit können Tridymit und Cristobalit (in Form ihrer Tieftemperaturmodifikationen) auch bei normalem Abkühlen auf Raumtemperatur erhalten bleiben. Ebenso läßt sich auch die SiO₂-Schmelze leicht unterkühlen, und man erhält Kieselglas. Die Umwandlungs- bzw. Schmelztemperaturen sind aus Bild III-72 bzw. Tafel III-8 zu entnehmen.

Für die meisten praktischen Zwecke dürfte — wegen zumeist immer vorhandener geringer Fremdbeimengungen — das in Bild III-72 wiedergegebene „klassische“ SiO₂-Diagramm nach FENNER weiterhin Gültigkeit haben, wenngleich sich für die Betrachtung der Modifikationsbeziehungen hochreinen Siliziumdioxids nach FLÖRKE [66] ergibt, daß Tridymit in einem derartigen System überhaupt nicht auftritt. Tridymit kann danach nur mit Fremdionen im Gitter existieren, wofür bereits Spuren genügen. FLÖRKE wies dies nach, indem er Tridymit bei $1200\ldots1300^\circ\text{C}$ elektrolysierte. Dabei

wanderten die Verunreinigungen in den Kathodenraum, während an der Anode Cristobalit entstand. Wurde der Versuch unterhalb 1100°C durchgeführt, so entstand Quarz (nicht Tridymit) anstelle von Cristobalit. Das Gleichgewicht Quarz—Cristobalit wird von FLÖRKE bei etwa 1050°C angenommen. Die Stabilitätsgebiete des hochreinen SiO₂ ergeben sich demzufolge so, wie in Bild III-73 dargestellt. (Zur Strukturfrage des Tridymits s. I,

4.1.1.6. F. Über verschiedene Tridymitformen s. auch SOSMAN [67].) Die im Vergleich zum Quarz geringeren Dichten und Brechungsindizes von Tridymit und Cristobalit (Tafel III-8) sind in den relativ größeren Strukturhohlräumen (s. Struktur I, 4.1.1.6. F) zu suchen.

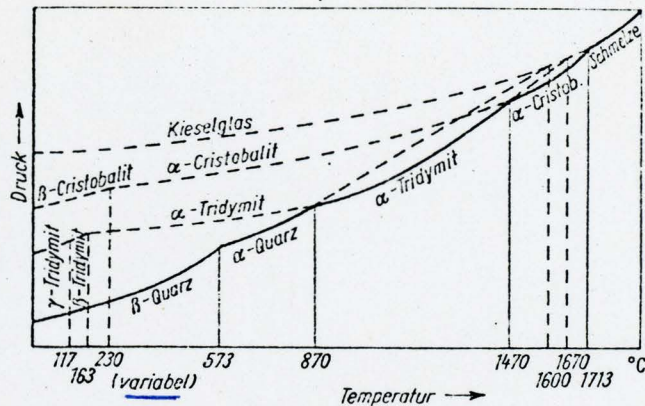
Die $\alpha \rightleftharpoons \beta$ -Umwandlung des Quarzes ist von LE CHATELLIER [69] bereits 1889 bei Messung der linearen Ausdehnung von Quarz in Abhängigkeit von der Temperatur aufgefunden worden. Die Messungen wurden an Würfeln durchgeführt, die aus durchsichtigen Bergkristallstücken herausgeschnitten waren, und zwar sowohl senkrecht als auch parallel zu ihrer kristallografischen Hauptachse (*c*-Achse). Die Wärmeausdehnung wurde außerdem an Würfeln untersucht, die aus feinkörnigem Sandstein herausgeschnitten worden waren und Aggregate von ungeordneten Kristallen darstellten. In allen drei Fällen wurde bei 573°C ein scharfer Knick in der thermischen Ausdehnungskurve beobachtet, der durch den Übergang von β -Quarz in α -Quarz bedingt ist (Bild III-74a). Die Ausdehnungskurven von Quarz zeigen insofern eine Anomalie, als der α -Quarz einen negativen, der β -Quarz dagegen einen positiven Temperaturkoeffizienten der linearen Ausdehnung aufweist.

Die Umwandlungen von α -Quarz, α -Tridymit und α -Cristobalit in ihre Tieftemperaturmodifikationen sind insofern für die Praxis von wesentlicher Bedeutung, als sie — entsprechend der linearen Dehnung — von beträchtlichen Volumenänderungen begleitet werden, was in manchen Fällen zum Springen (Rissigwerden) von keramischem Material mit verschiedenen SiO₂-Modifikationen führen kann. Erzeugnisse, die größere Mengen Cristobalit enthalten, sind diesbezüglich besonders gefährdet. In Bild III-74b wird die Wärmedehnung von Quarz, Tridymit und Cristobalit beim Erhitzen gezeigt.

2.2.2.6.2

2 SiO₂

SCHWIETE und STOLLENWERK [71] [72] wandten die Röntgenzählrohrmethode zur Untersuchung der Umwandlung des Quarzes an und benutzten reines Bergkristallpulver, das einem wiederholten Glühen bei 1500°C unterworfen wurde. In Bild III-75 wird sichtbar, daß der Gehalt an Quarz in Abhängigkeit von der Brenndauer bereits in den ersten 60 min stark abnimmt und bei weiterem Erhitzen asymptotisch den Wert Null erreicht. Bei der Umwandlung bildet sich eine röntgenamorphe Übergangssubstanz, die nach schnellem Durchlaufen eines Maximums immer mehr abnimmt; der Cristobalitanteil steigt zunächst rasch, dann langsamer an. (Tridymit tritt wegen der hohen Brenntemperatur

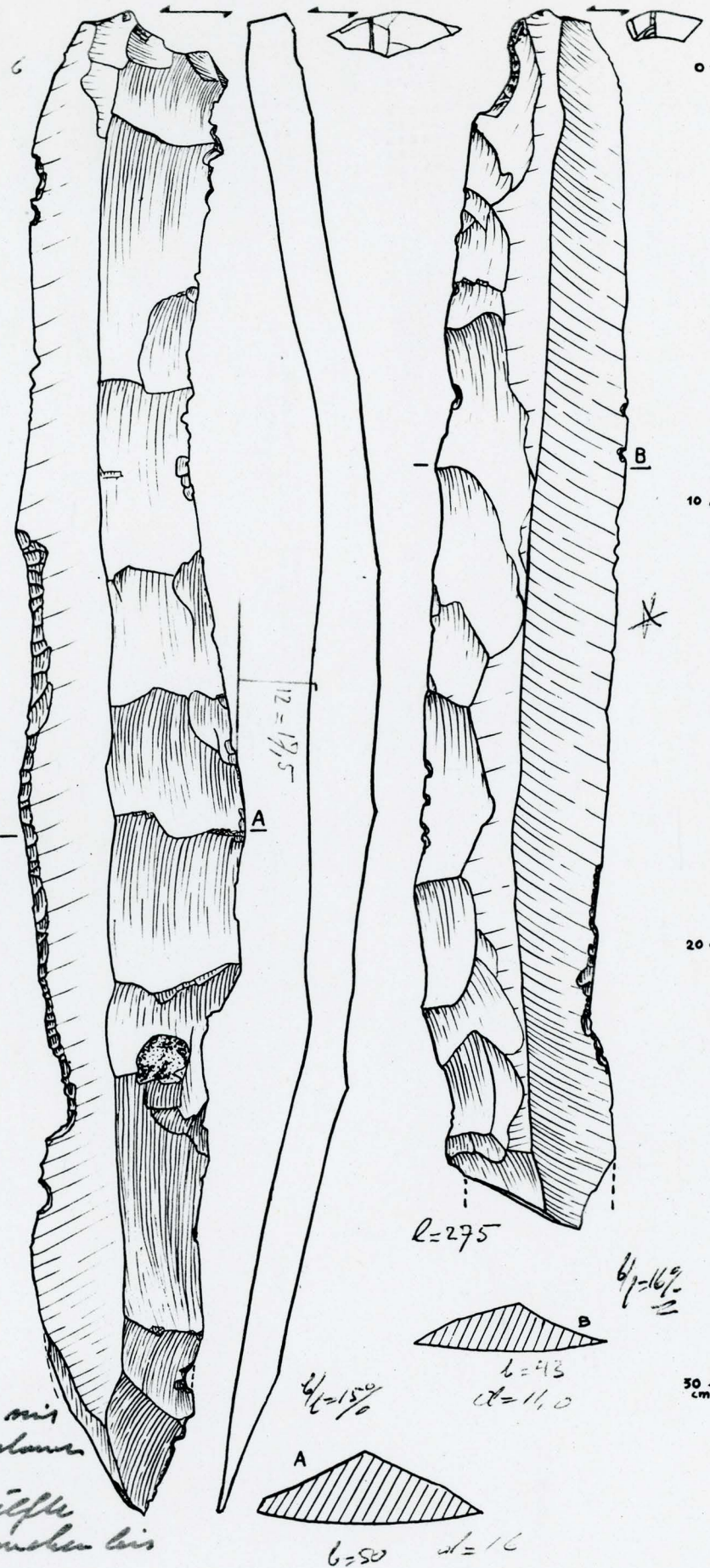
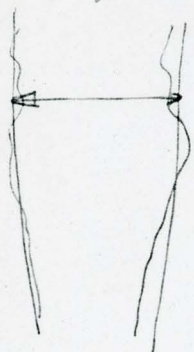
2 SiO₂

III-72. Schematische Dampfdruckkurven im System SiO₂ nach FENNER

Tafel III-8. Kristalline Phasen im System SiO₂

Modifikation	charakterist. Temp. [°C]	Kristall-system	Habitus	Dichte [g/cm ³]	Optik			Strukturaufbau (aus [66])
					n _x	n _y	n _z	
α-Quarz	870 → α-Tridymit	hexagonal	Doppel-pyramiden	2,60	1,530	1,540	(+)	Gerüst aus [SiO _{4/2}]-Tetraedern mit über Ecken verknüpften, tordierten 6-Ringen
β-Quarz	573 → α-Quarz	trigonal	Prismen rundliche Körper	2,65	1,544	1,553	(+)	
α-Tridymit	1470 → α-Cristobalit	hexagonal		2,30				
β-Tridymit	163 → α-Tridymit	trigonal		2,30				
γ-Tridymit	117 → β-Tridymit	rhombisch	Dendrite hexagonale Tafeln	2,27	1,470	1,474	50°; (+)	Gerüst aus [SiO _{4/2}]-Tetraedern, über Ecken zu 6-Ringen verknüpft
γ-Cristobalit	1723 Schmp.	kubisch	Oktaeder	2,21		~ 1,47		
β-Cristobalit	230 → α-Cristobalit	tetragonal	Dendrite gezähnte Spieße	2,33	1,484	1,487	(-)	
Coesit		monoklin	hexagonale Platten, Spieße	3,01	1,594	1,595	1,599 64°; (+)	Gerüst aus [SiO _{4/2}]-Tetraedern, über Ecken zu 4-Ringen verknüpft
Keatit		tetragonal		2,50 (ber.)	1,513	1,522	(-)	Gerüst aus [SiO ₄]-Tetraedern
Stishovit		tetragonal		4,35 (synth.) 4,03 (nat.)	1,800	1,845		deformierte hexagonal dichteste Sauerstoffpackung
faseriges SiO ₂		rhombisch	Fasern	1,96 bis 1,98				Ketten aus [SiO _{4/2}]-Tetraedern, über Kanten verknüpft
Kieselglas		amorph		2,20	1,458			regellose Gerüste aus [SiO _{4/2}]-Tetraedern, über Ecken zu 5-, 6- und 7-Ringen verknüpft

Die „max. Klingenhöhe“
ist ausgemessen.



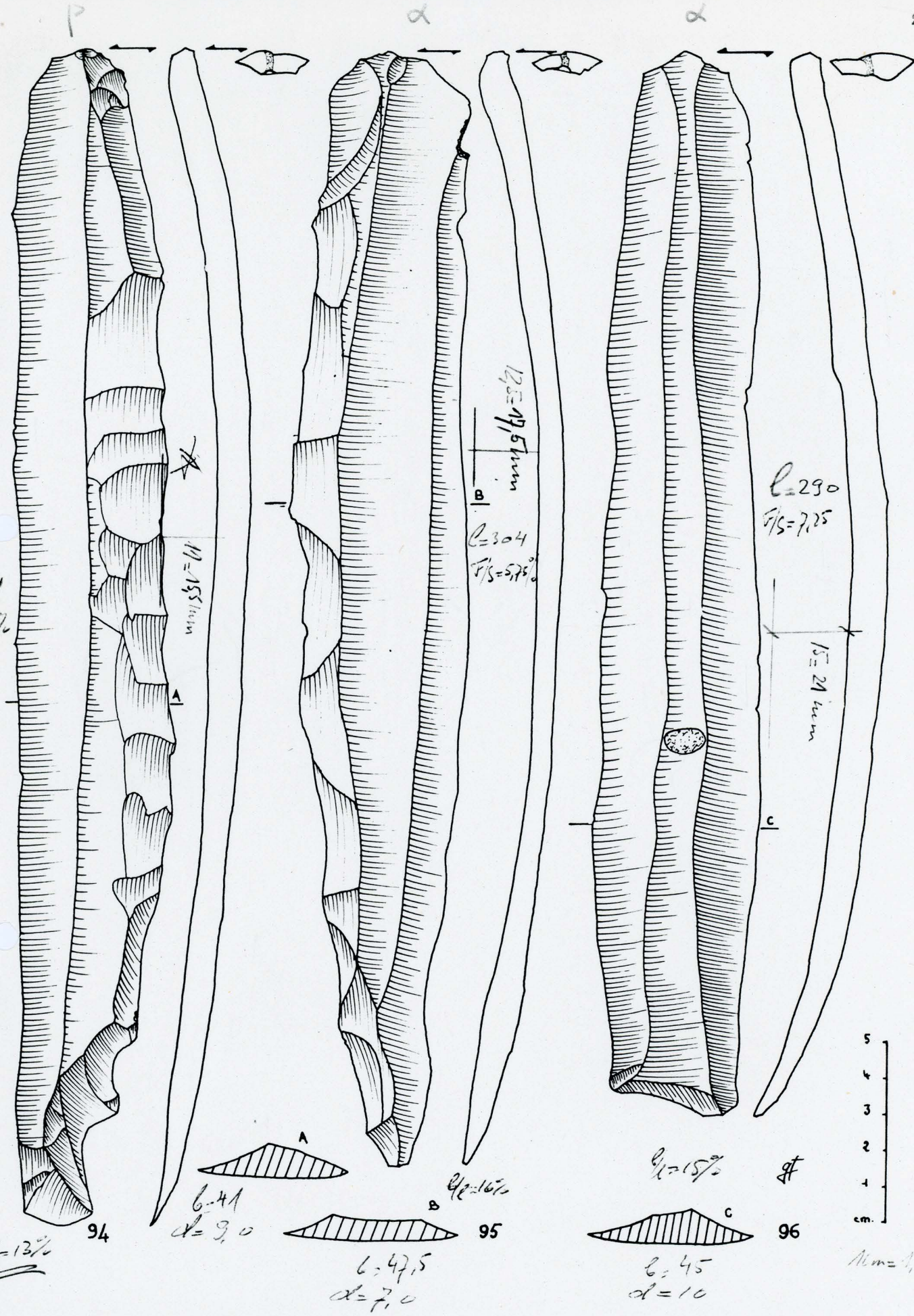
* = Reine Klingen mit
wenig Ansetzungen

β = Thiel. die Hälfte
mit Ansetzungen bis
in die Tiefe

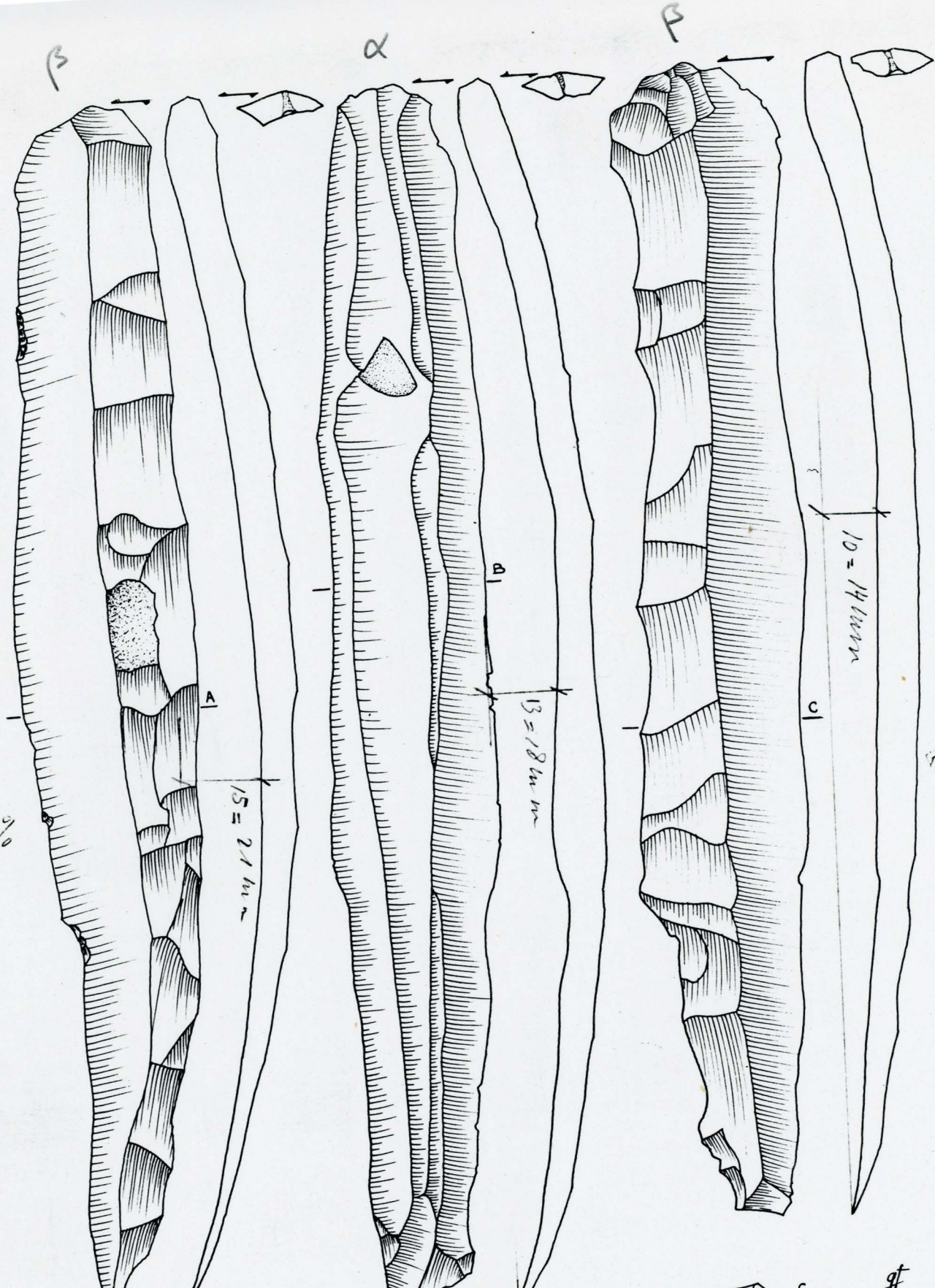
† = Alles Ansetzungen.

- Examples from „la Creusette“
(BANIG # 23, 1972)

(-The handwriting is from my copy!)



C.C. 6.2.16.5



$\ell = 310$
 $F/S = 6,8\%$

$\ell = 300$
 $F/S = 4,6\%$

A
97

$\beta = 14,5$ $\alpha = 10$
 $F/S = 14\%$

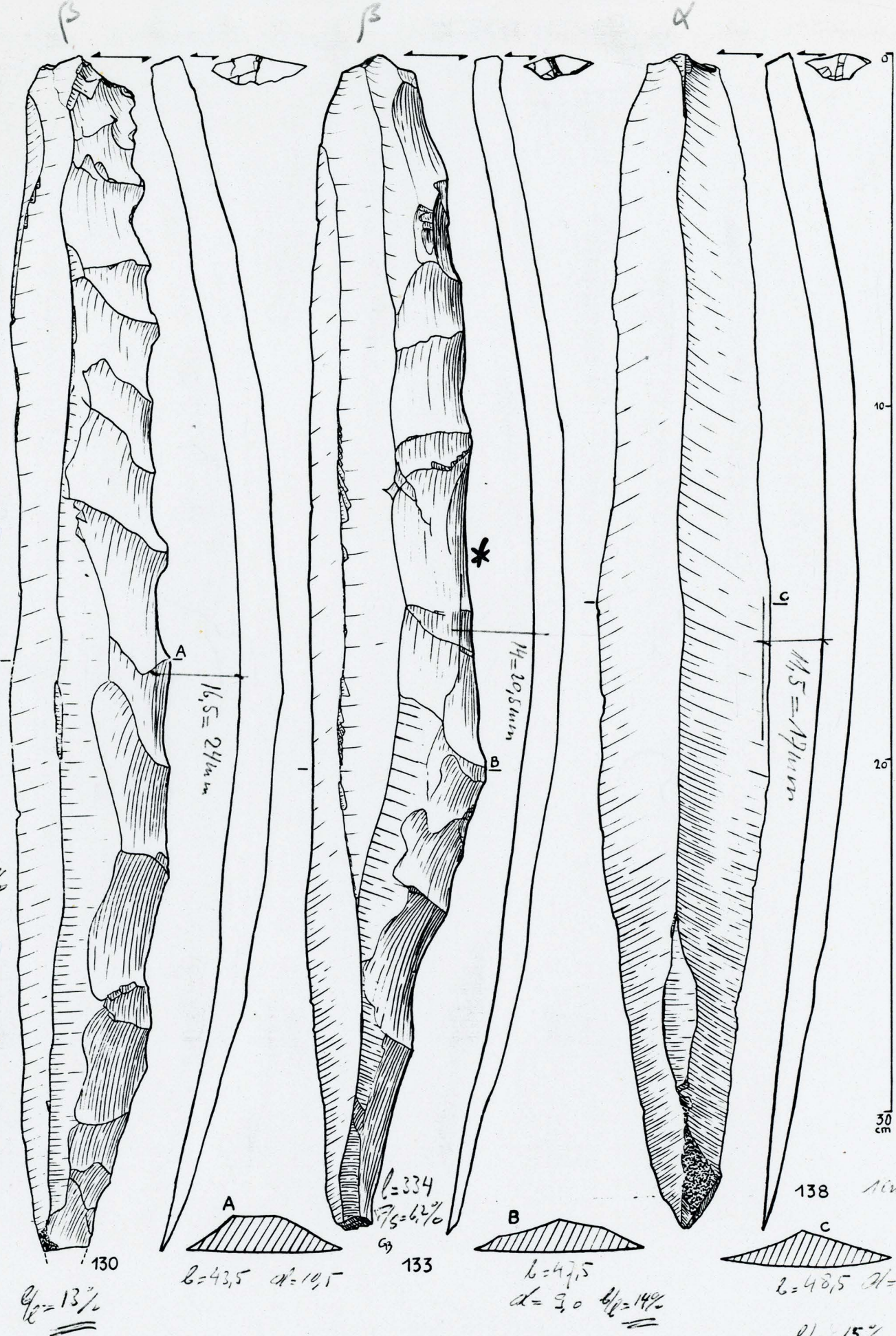
B 98-99

$\beta = 38,5$ $\alpha = 10$
 $F/S = 5,5\%$ $\beta/\ell = 12\%$

C 100
ft

$\beta = 39,5$
 $\alpha = 9,5$ $\beta/\ell = 13\%$

$ACm = 1405$

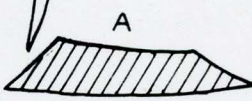
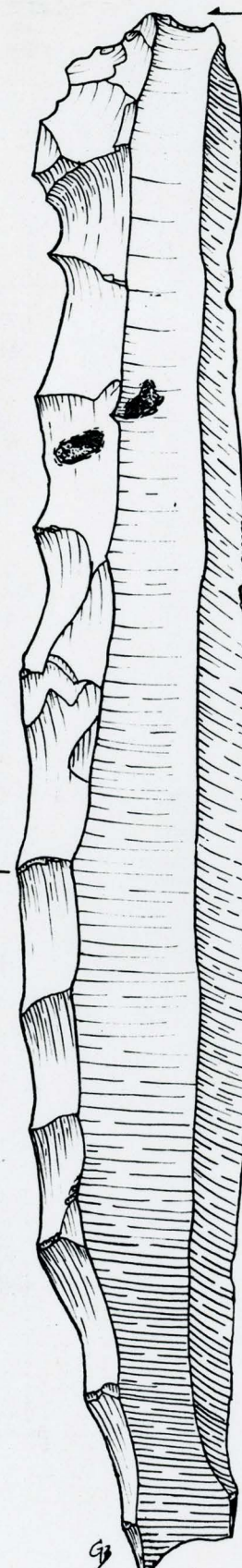


C.C. 2/16.2

d

d

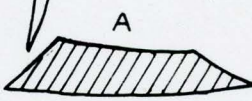
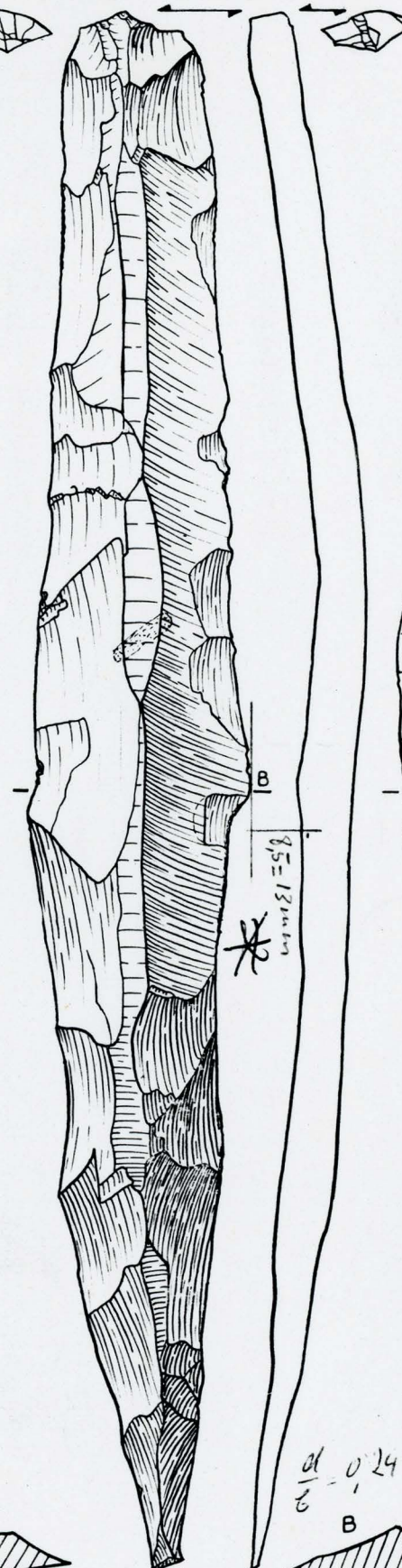
B



$l=326$
 $\alpha=70^\circ$
 $\beta=5^\circ$

$\frac{B}{l} = 15\%$

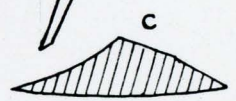
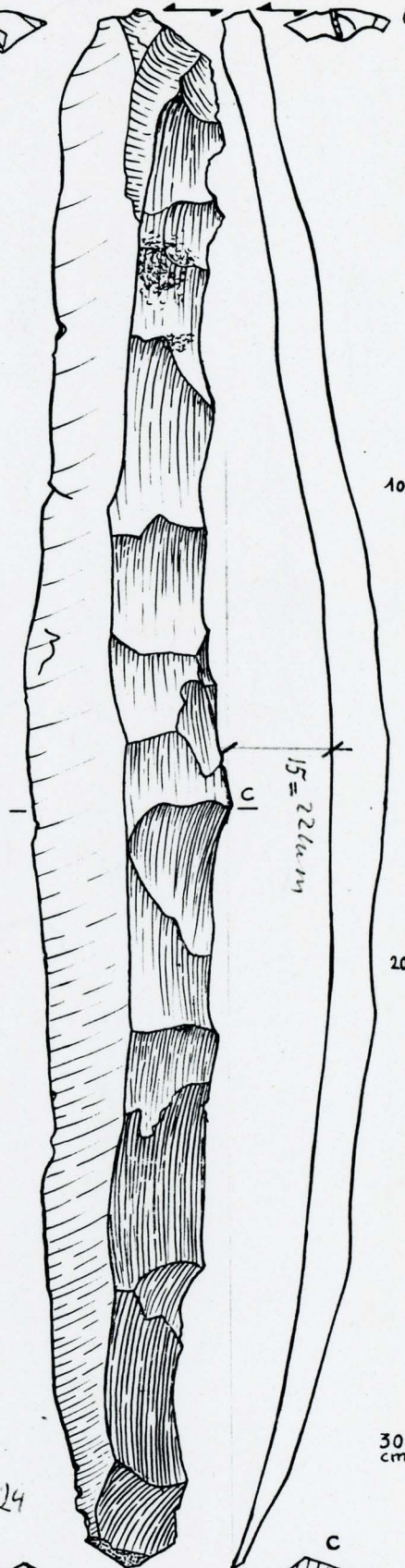
136



$B=48$
 $\alpha=19,5^\circ$

132

$l=335$
 $\frac{B}{l} = 3,9\%$



$B=46$
 $\alpha=11,0^\circ$

131

$\frac{B}{l} = 14\%$

$\frac{B}{l} = 13,1\%$

$\alpha=14,2^\circ$

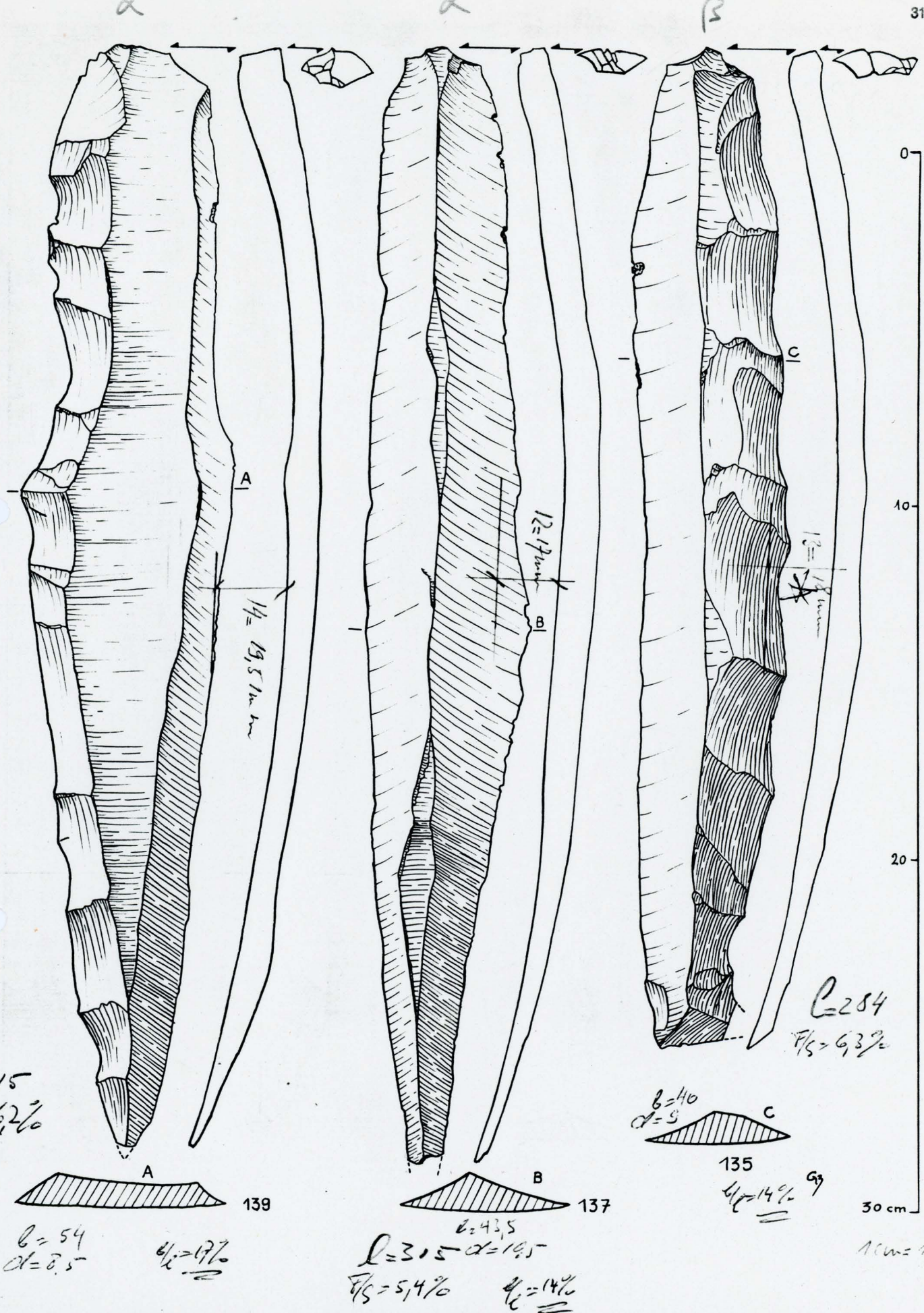
$l=325$

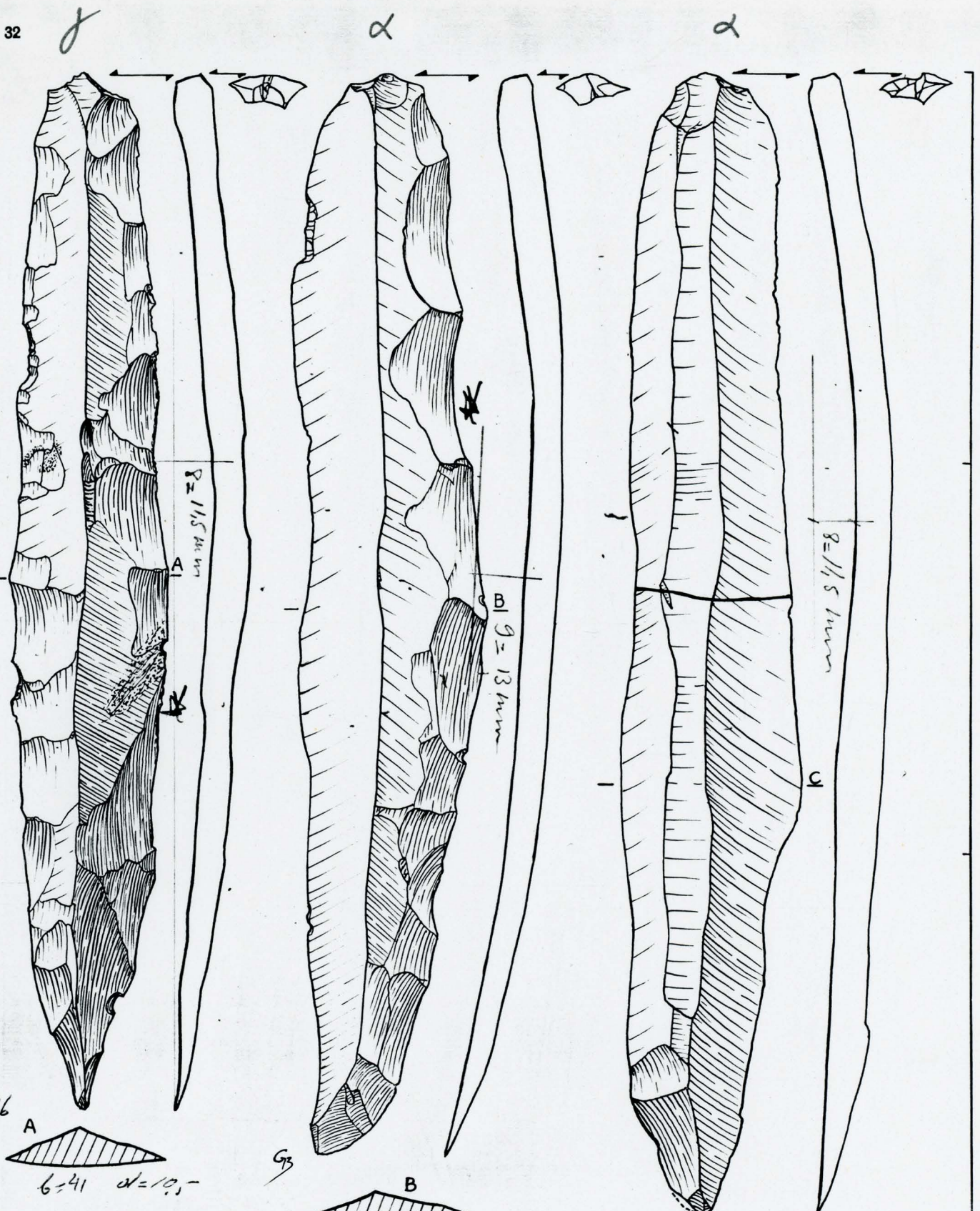
$\frac{B}{l} = 6,8\%$

$\alpha=6,2^\circ$

$l=16,8$

$\alpha=6,2^\circ$





$$\frac{l}{d} = 0,26$$

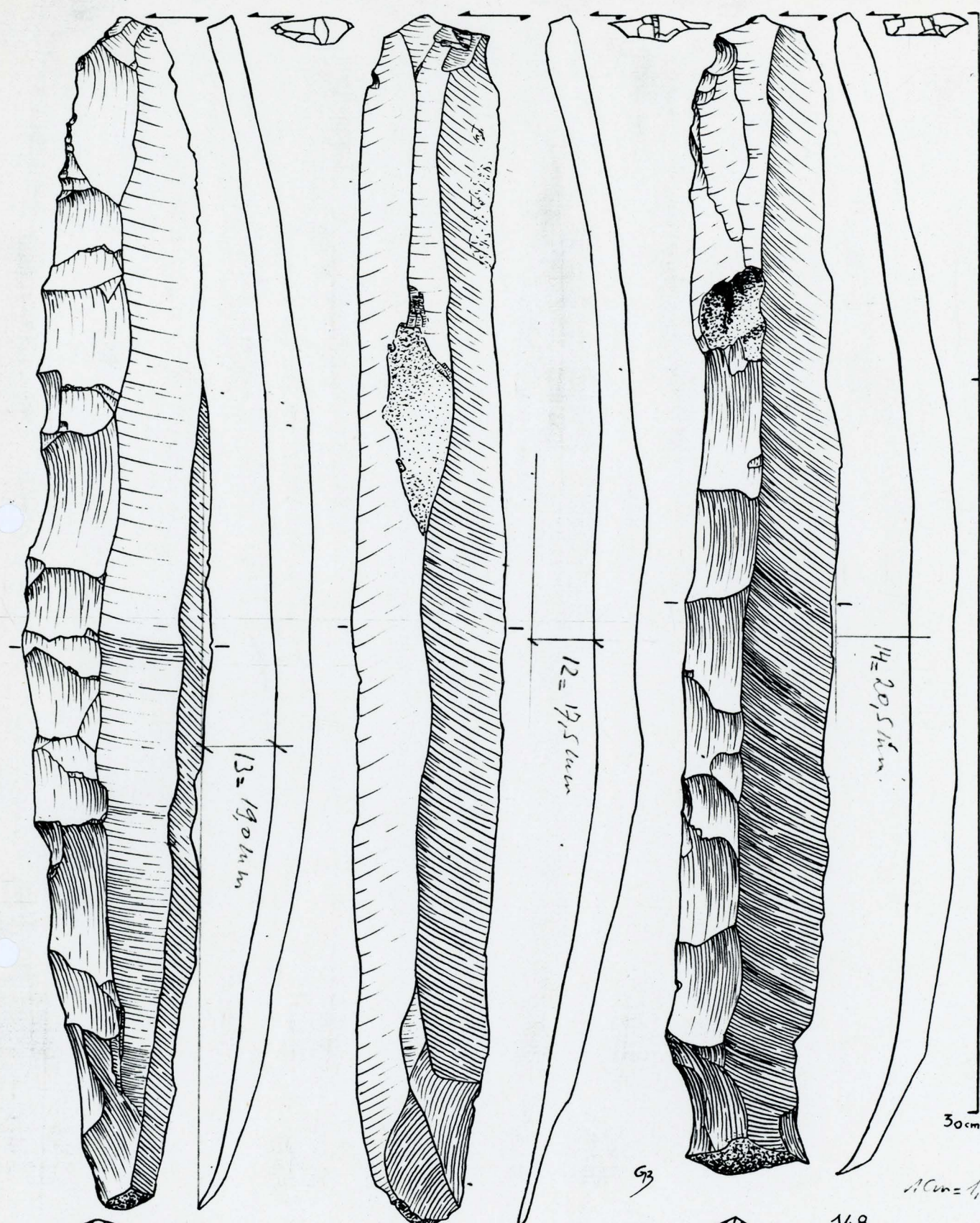
A: $l=41$ $\alpha=10,5^\circ$
134 $\frac{d}{l}=15\%$

$$l=269$$

$$P_S = 4,3\%$$

B: $l=463$ $\frac{d}{l}=17\%$
 $l=276$ $P_S = 4,7\%$

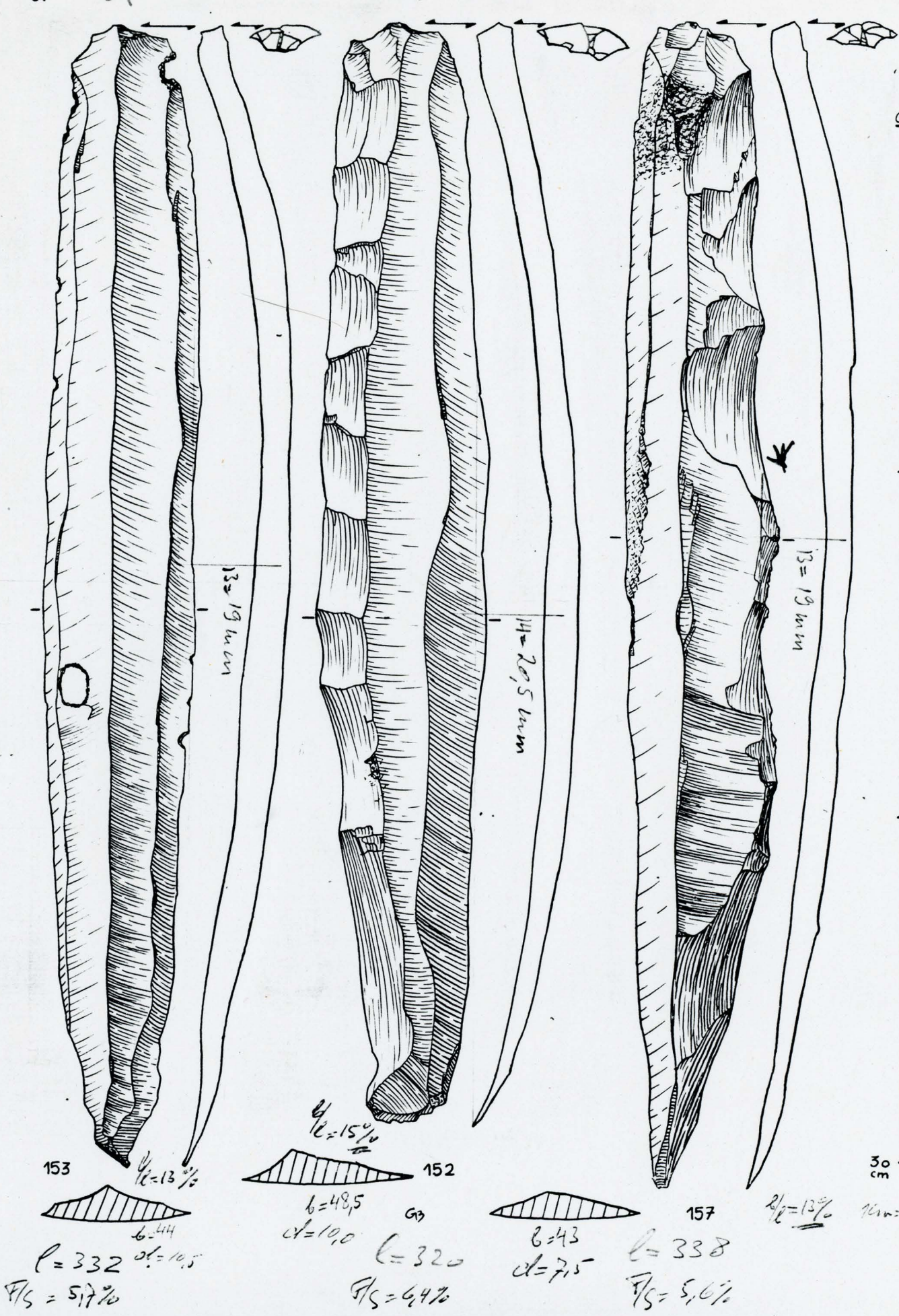
C: $l=46$
 $l=292$ $\alpha=12^\circ$
 $P_S = 3,3\%$ $\frac{d}{l}=16\%$
 $l_{\text{sum}} = 1,405 \text{ cm}$



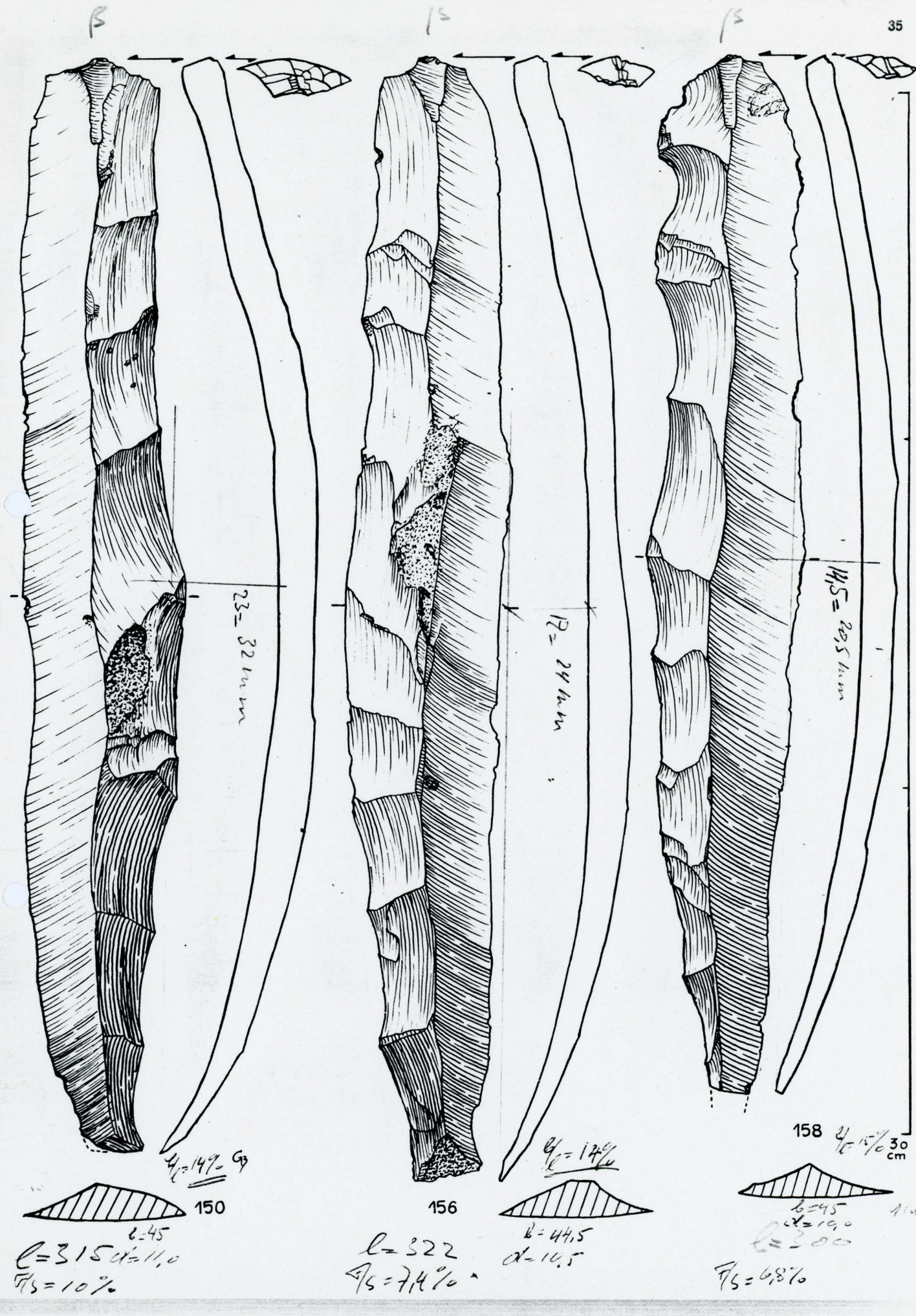
143 $b=9,5$
 $\alpha=9,5$
 $\ell=224$
 $F/S=5,9\%$
 $b/\ell=16\%$

144 $b=41$
 $\alpha=14,5$
 $\ell=33,0$
 $F/S=5,3\%$
 $b/\ell=12\%$

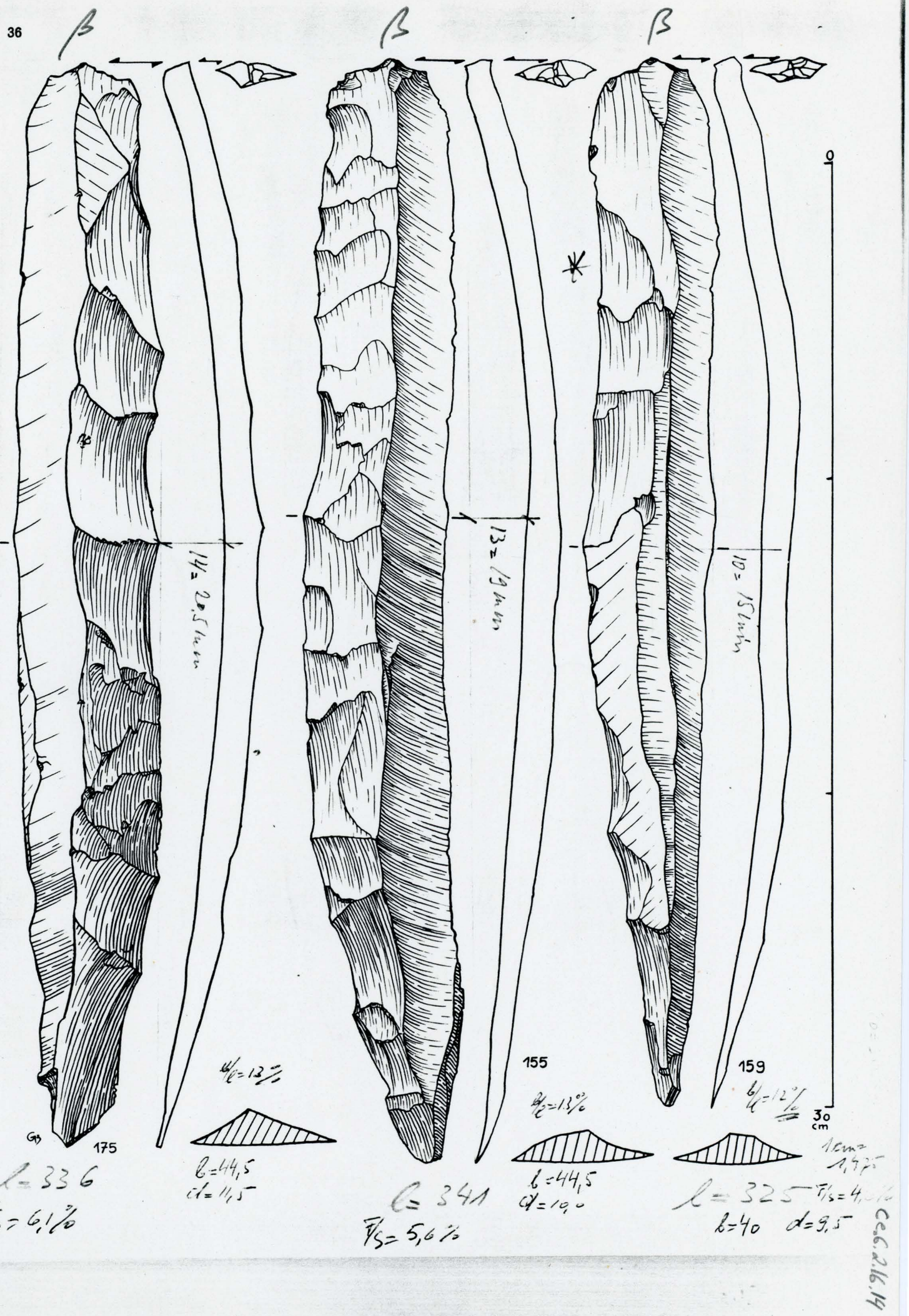
148 $b=40$
 $\alpha=12,5$
 $\ell=315$
 $F/S=6,5\%$
 $b/\ell=13\%$
 \approx

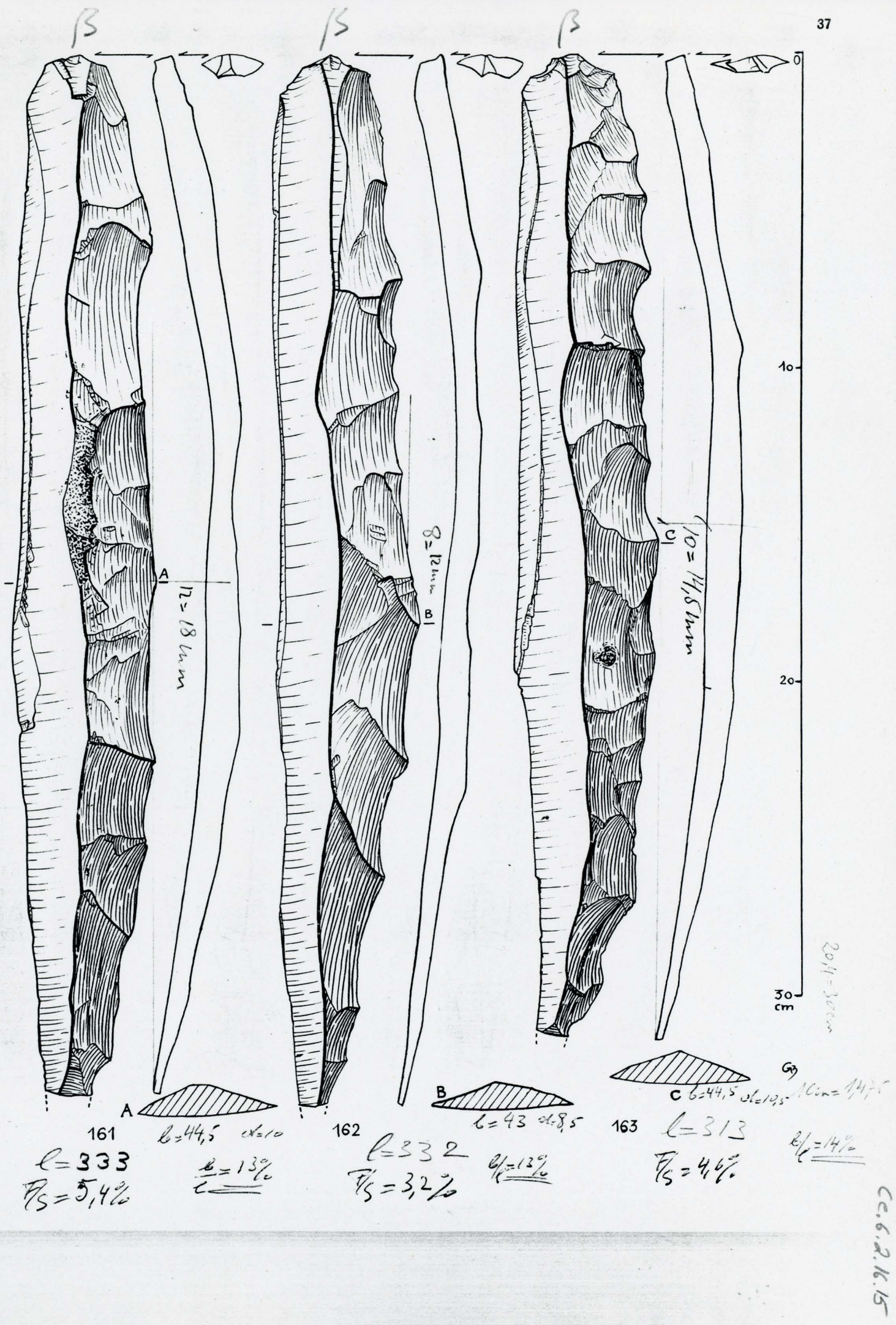


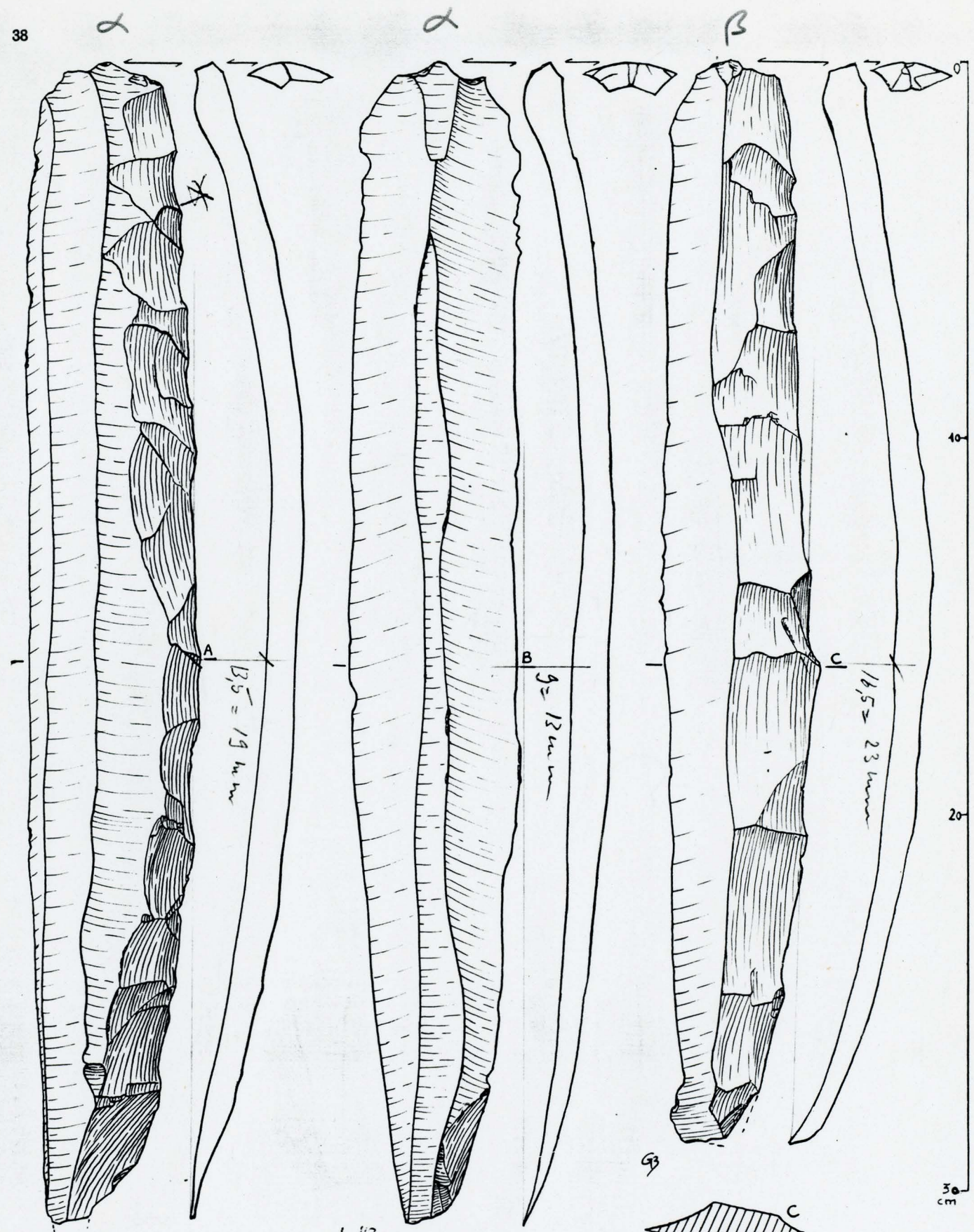
C.C. 6.2.16.12



CC.6.2.16.13

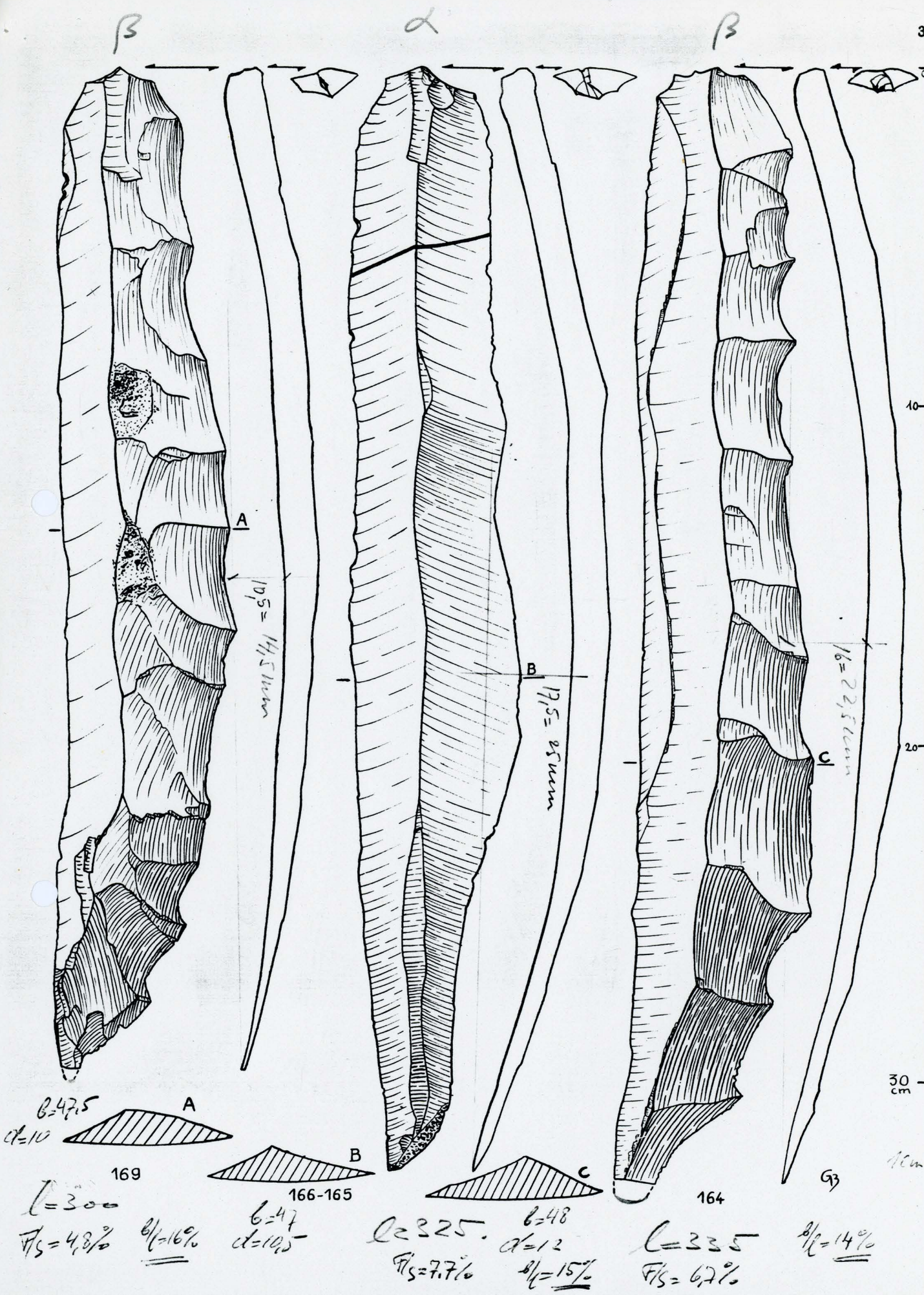




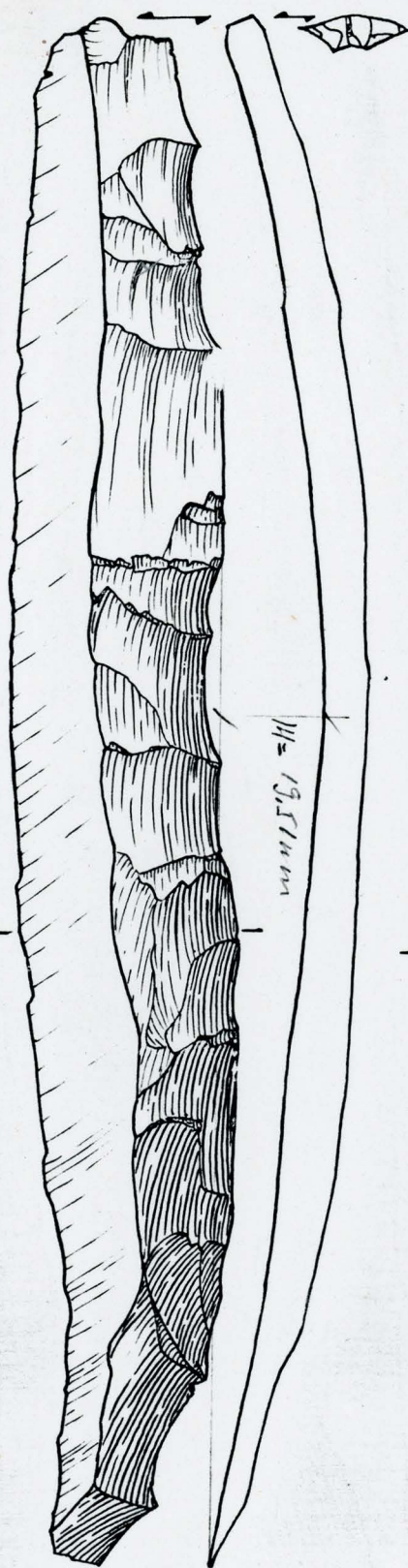
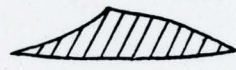


10 cm = 14,5 cm
C. 210 p. 13

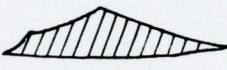
$b = 45$	167	$b = 159$	168	$b = 43$	168	$b = 149$	160	$b = 41$	160	$b = 149$	160
$\alpha = 8$				$\alpha = 10$		$\alpha = 10$		$\alpha = 10$		$\alpha = 10$	
$\ell = 306$		$\ell = 159$		$\ell = 307$		$\ell = 149$		$\ell = 160$		$\ell = 149$	
$\eta_S = 4,4\%$				$\eta_S = 4,2\%$				$\eta_S = 8\%$		$\eta_S = 8\%$	



β

 $\ell = 298$ $F_S = 6,5\%$ 

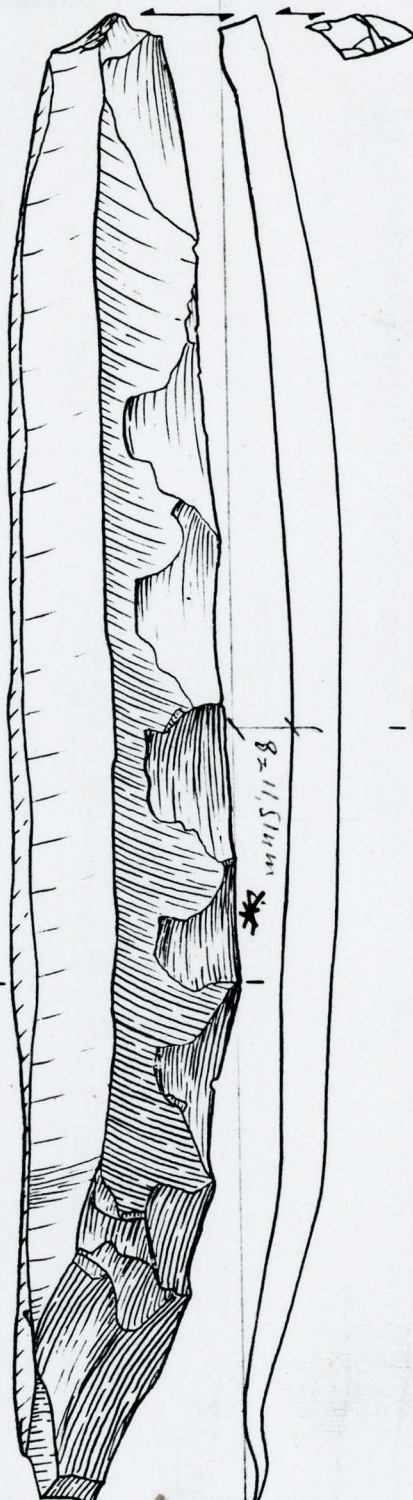
176

 $B = 42,1$ $\alpha = 3$ $\theta_L = 14\%$ $\ell = 275$ $F_S = 4,2\%$ 

177

 $B = 42,1$ $\alpha = 3$ $\theta_L = 15\%$

γ

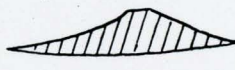


*

93

 $\ell = 272$ $F_S = 4,8\%$

30 cm

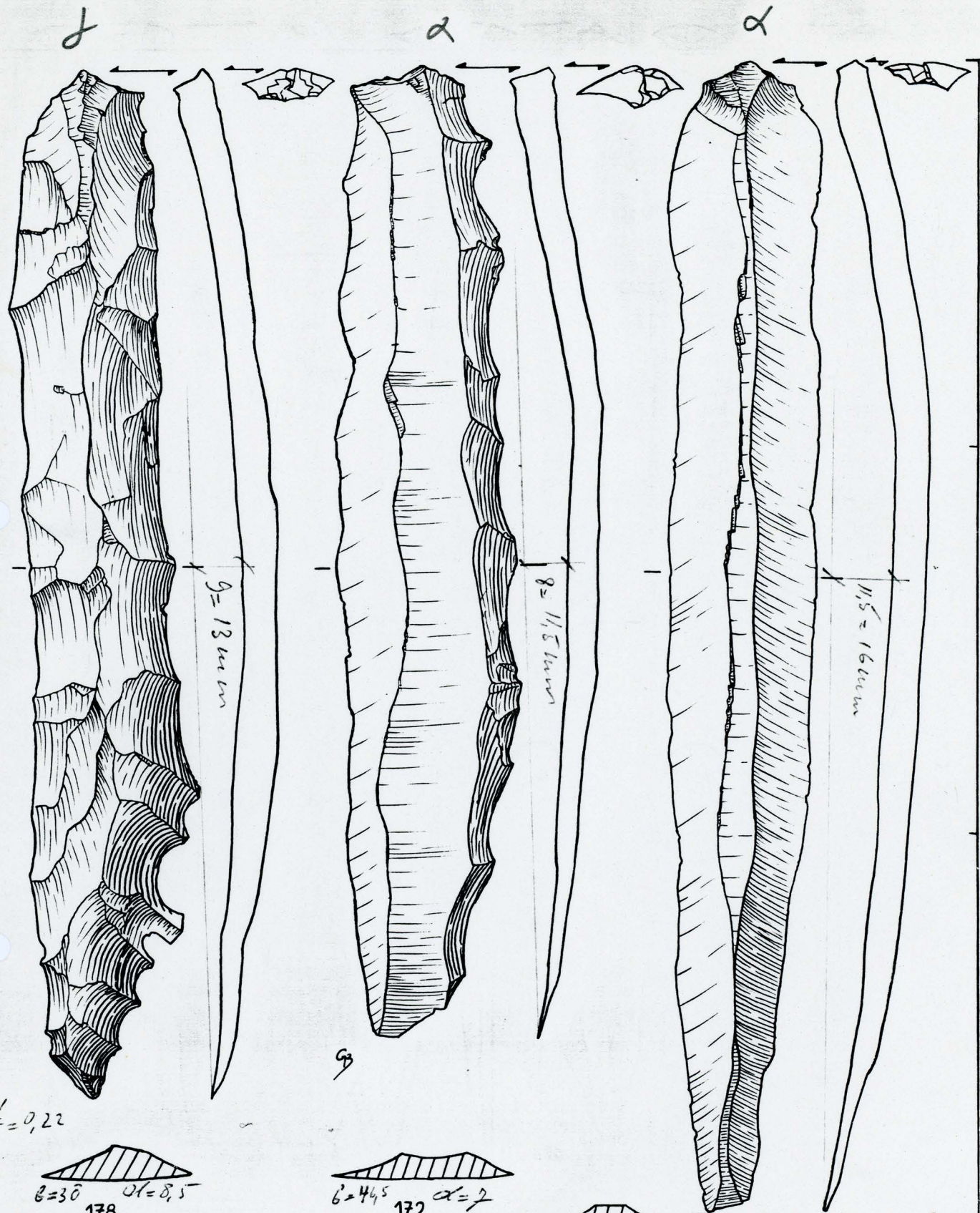


170

 $B = 42,1$ $\alpha = 8,5$ $\theta_L = 16\%$ $100n = 1405$

CC. 6.2.16.18

24,3 cm = 30 cm



$\ell = 265$

$F_S = 4,9\%$

$\underline{\underline{\frac{b}{l} = 14\%}}$

$\ell = 250$

$F_S = 4,6\%$

$\underline{\underline{\frac{b}{l} = 15\%}}$

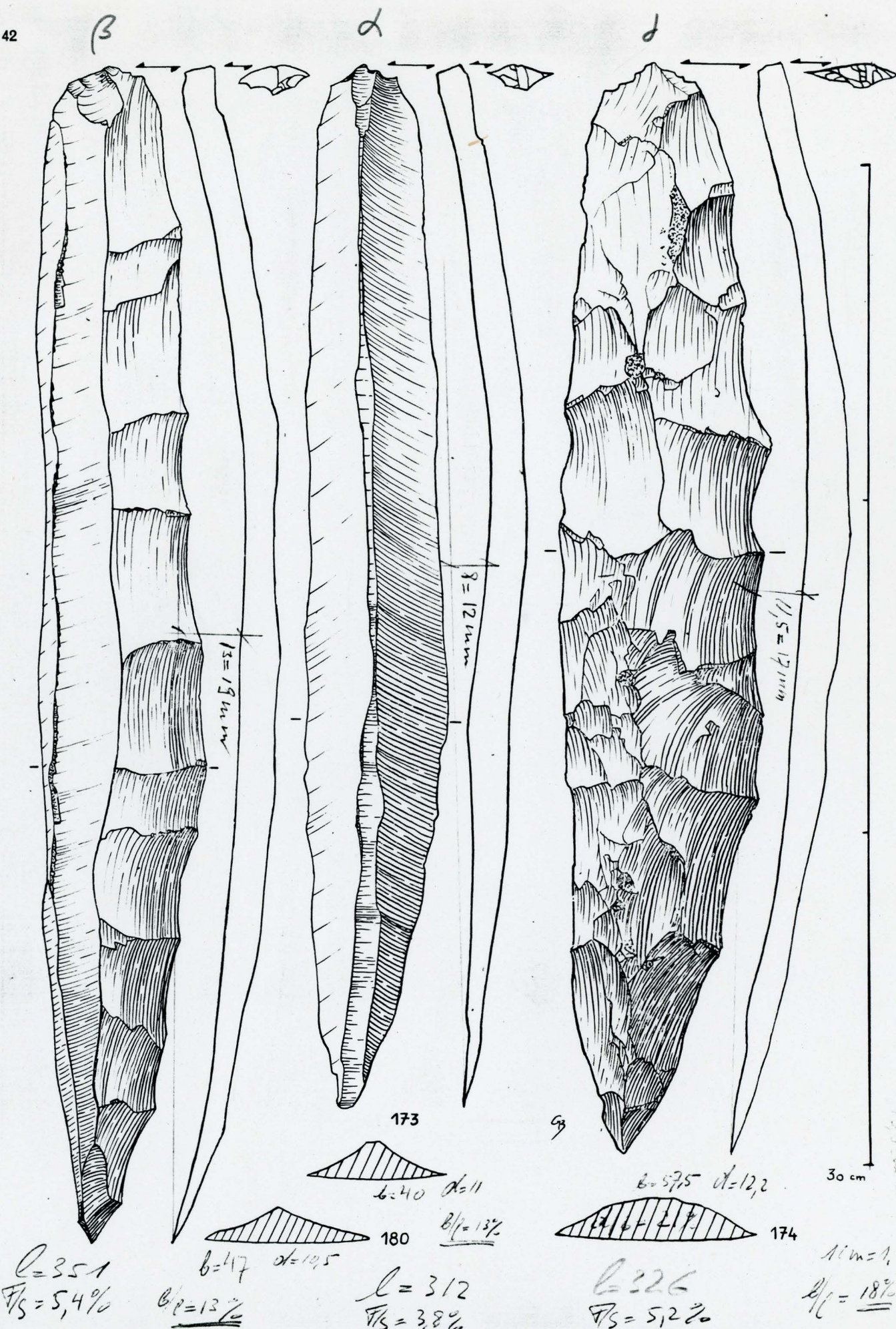
154

$\ell = 296$

$F_S = 5,4\%$

$11 \text{ m} = 1400$

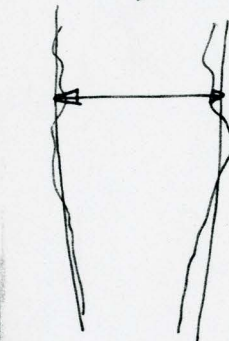
ce. 6.2.16.19



cc. 6.7.16.20

26

Die max. Klingenhöhe 6
ist ausgemessen.



*Retouches
from the
farmers plow!*

F/S = 5,2%

l = 340

12 = 19,5

l = 275

6/ = 16,2

30 cm

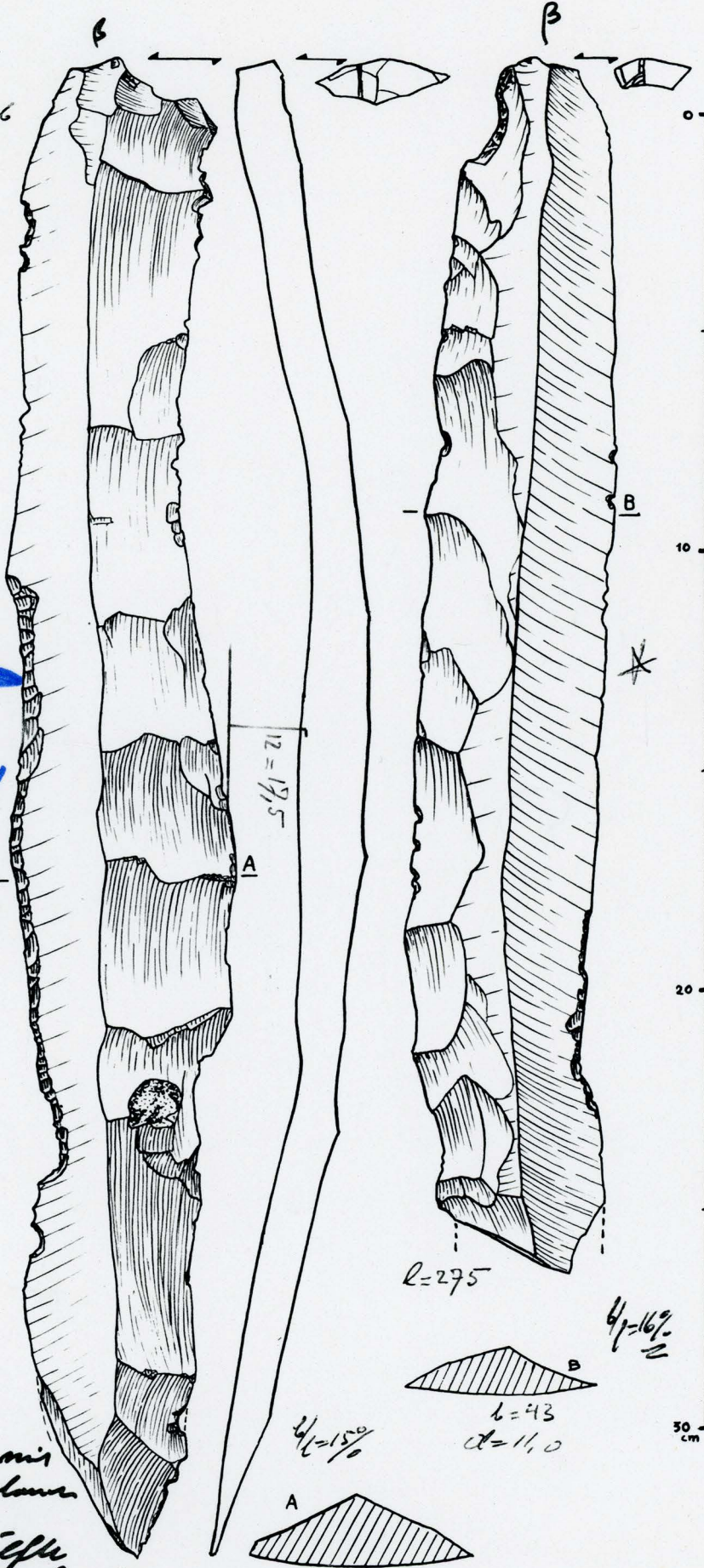
20,6 m = 20 cm

1 cm = 1,475 cm

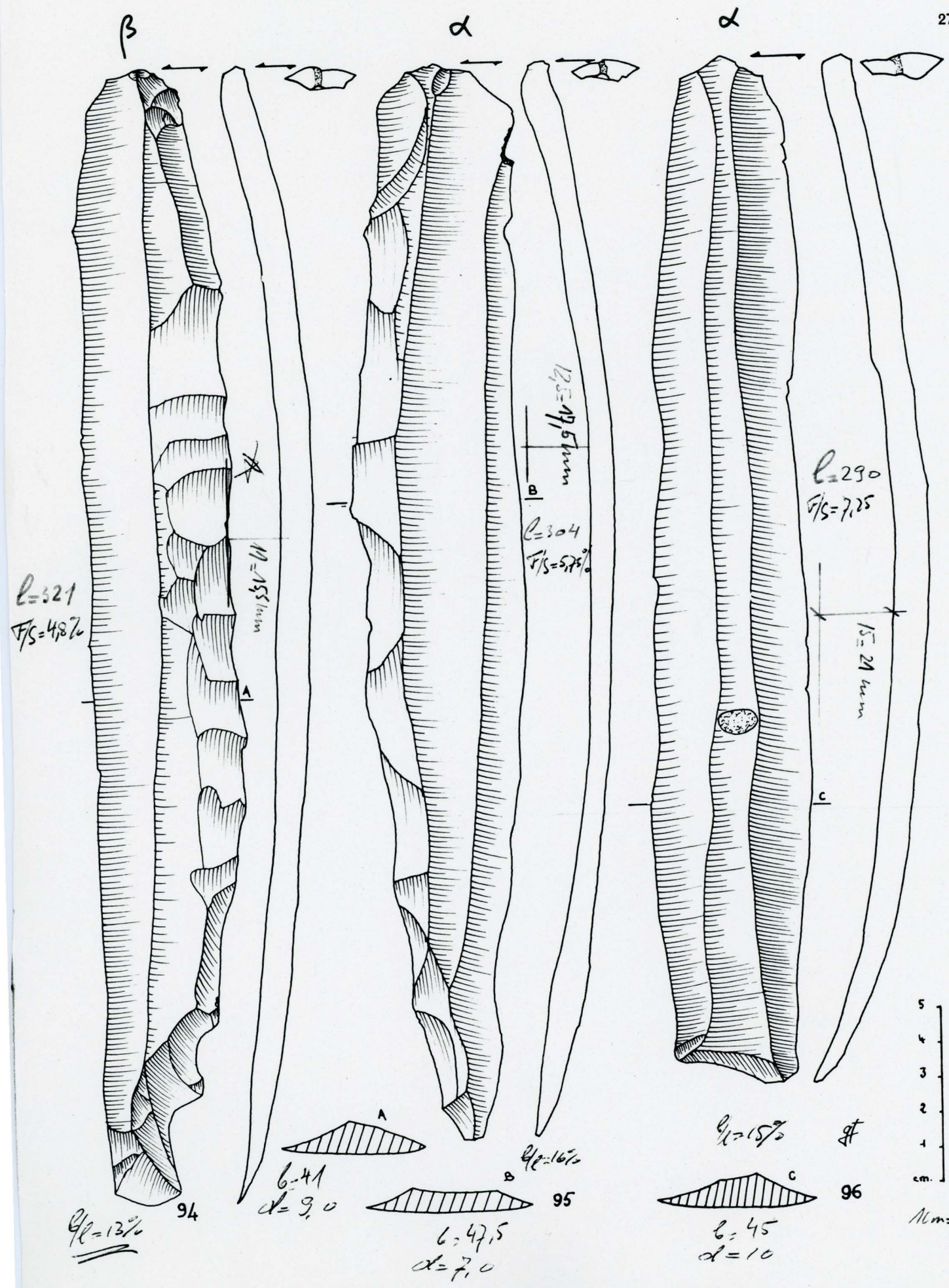
α = Reine Klinge mit
wenig Anrechlöschen

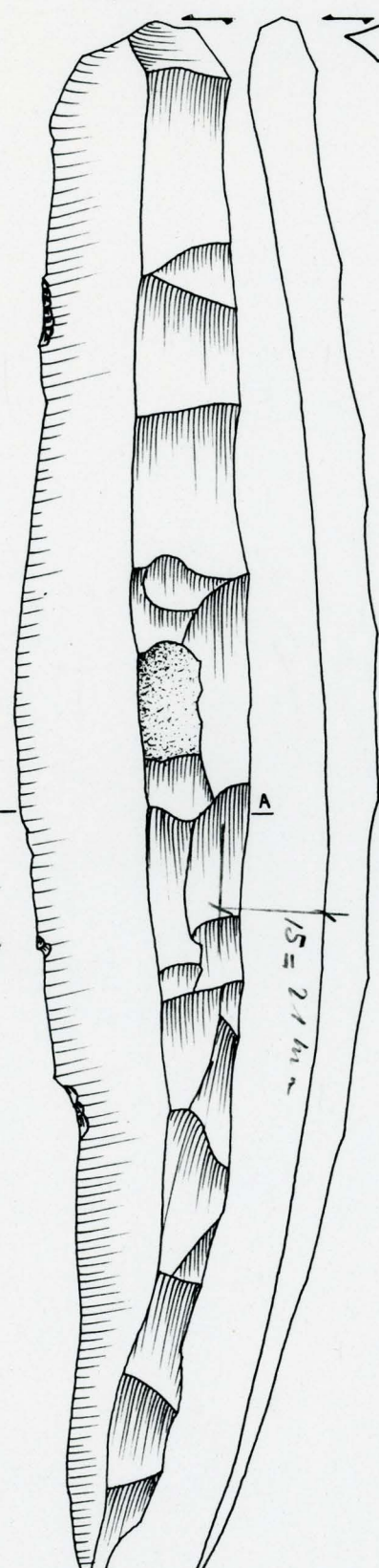
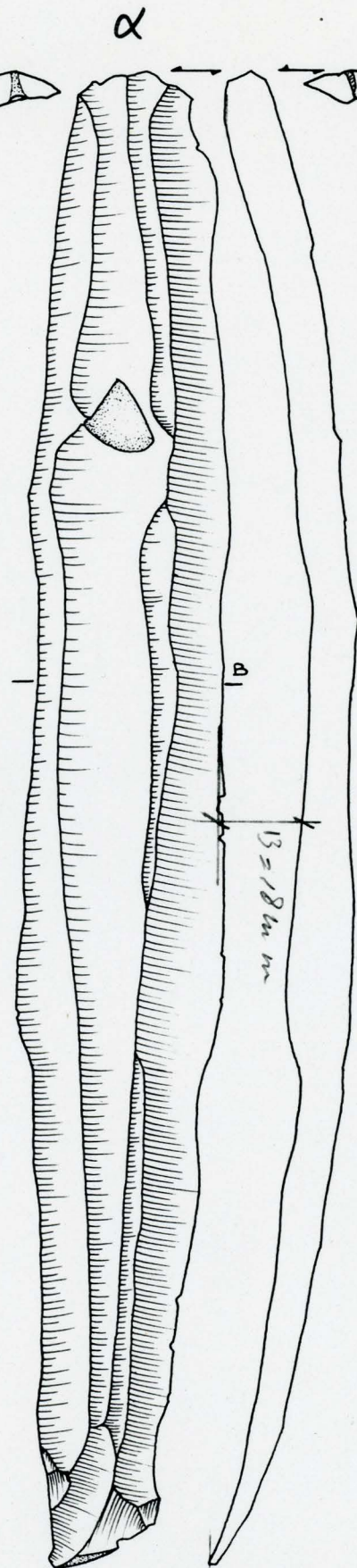
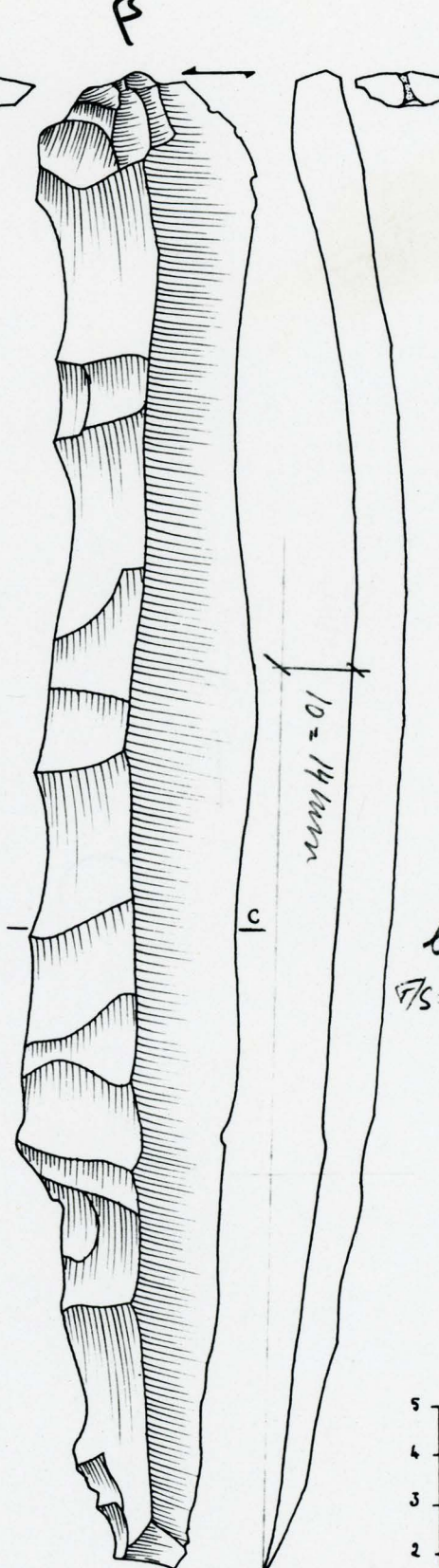
β = Third. Klinge
mit Anrechlöschen bis
in die Rille

γ = Alles Anrechlöschen.



C.C. 6.7.16.21



β  α  ρ 

2-1 cm = 3 mm
 cm

A
 97

$B = 44,5$
 $\alpha = 10$
 $\beta = 14\%$
 \equiv

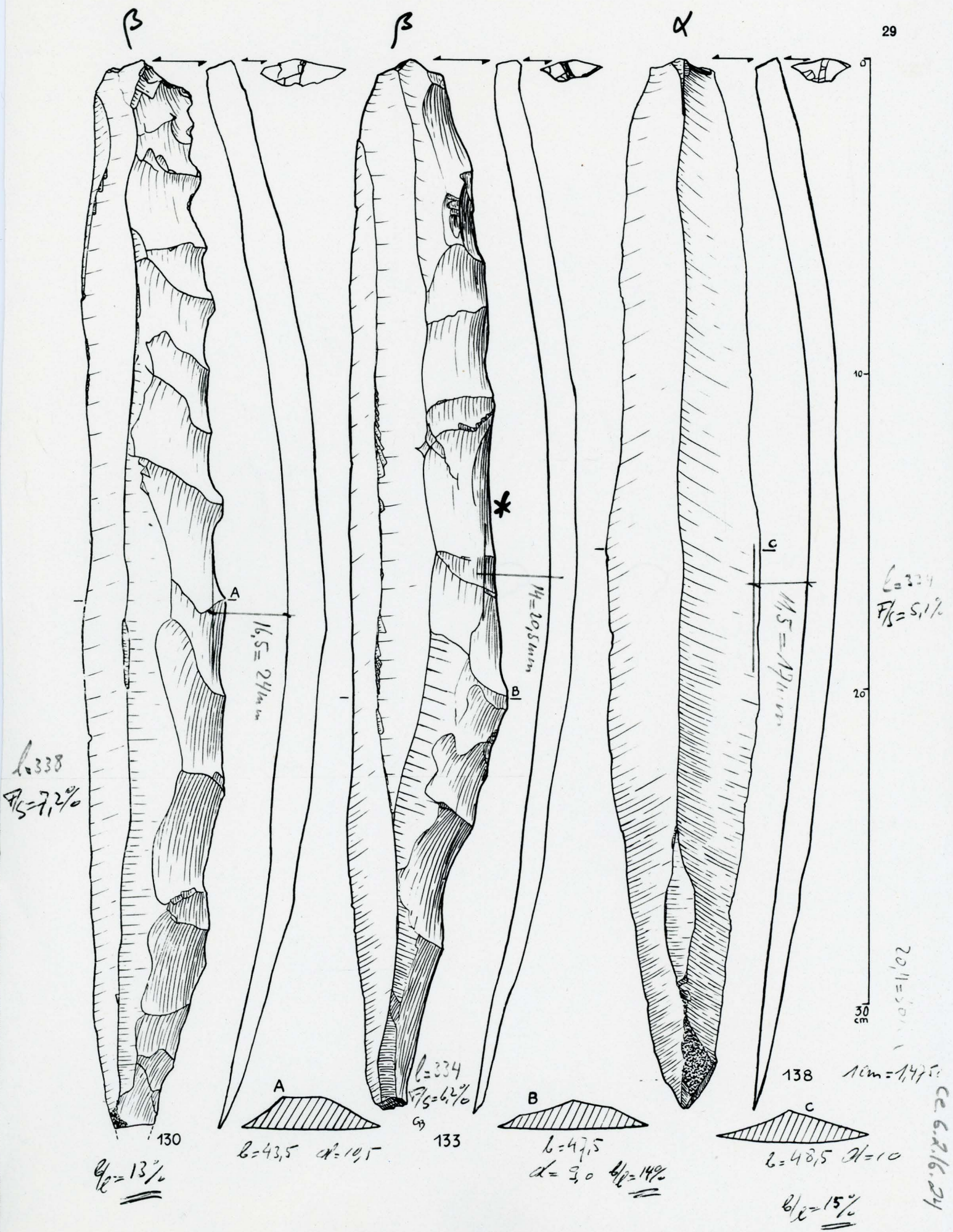
B 98-99

$B = 328$
 $\alpha = 10$
 $F/S = 5,5\%$
 $B/L = 12\%$

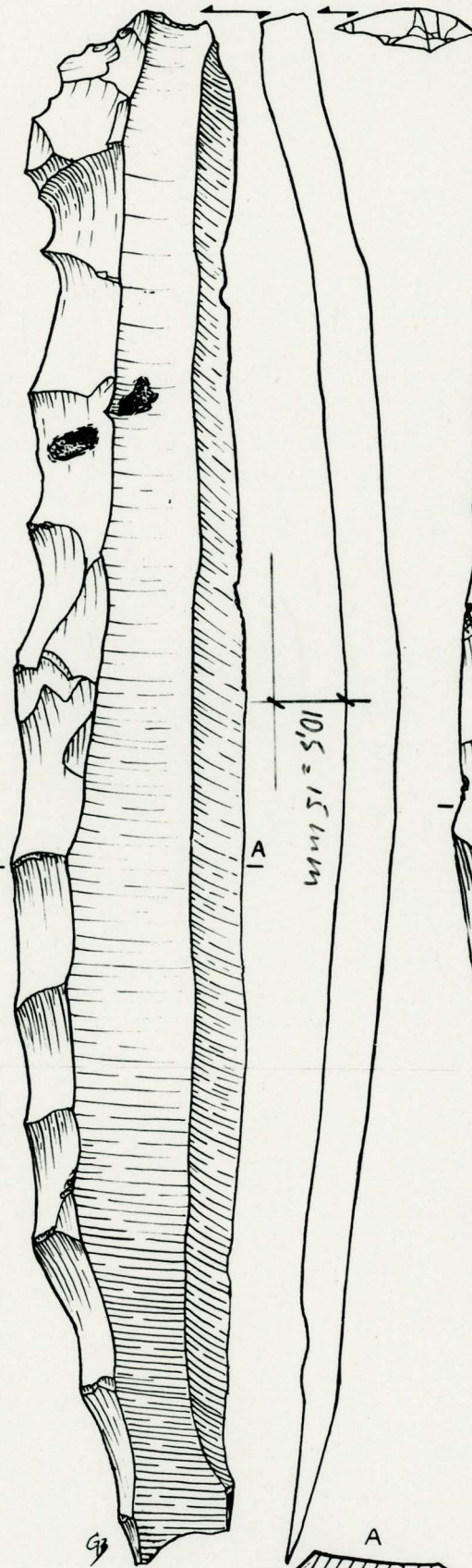
C 100 g

$B = 39,5$
 $\alpha = 9,5$
 $B/L = 13\%$
 \equiv

CC 6.2.16.23
 $1 \text{ cm} = 1,405 \text{ cm}$

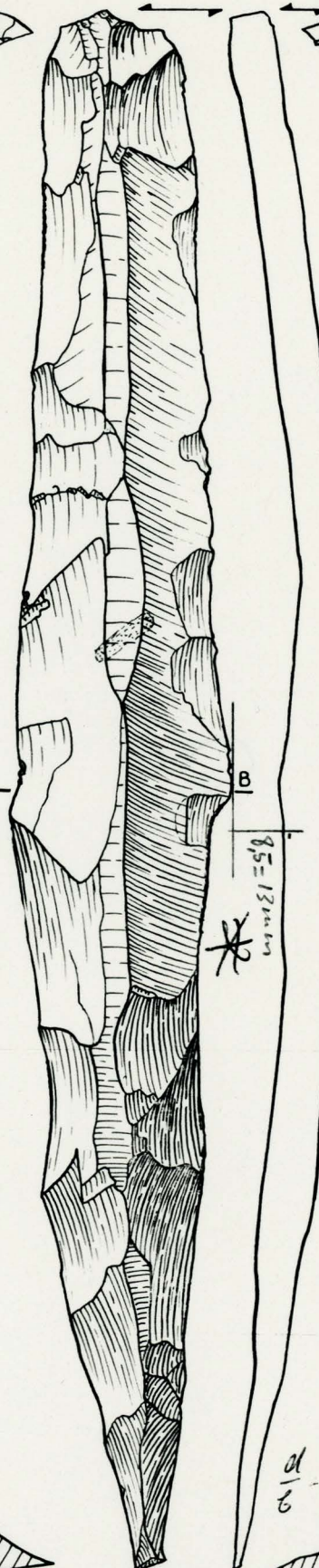


30

 δ 

136

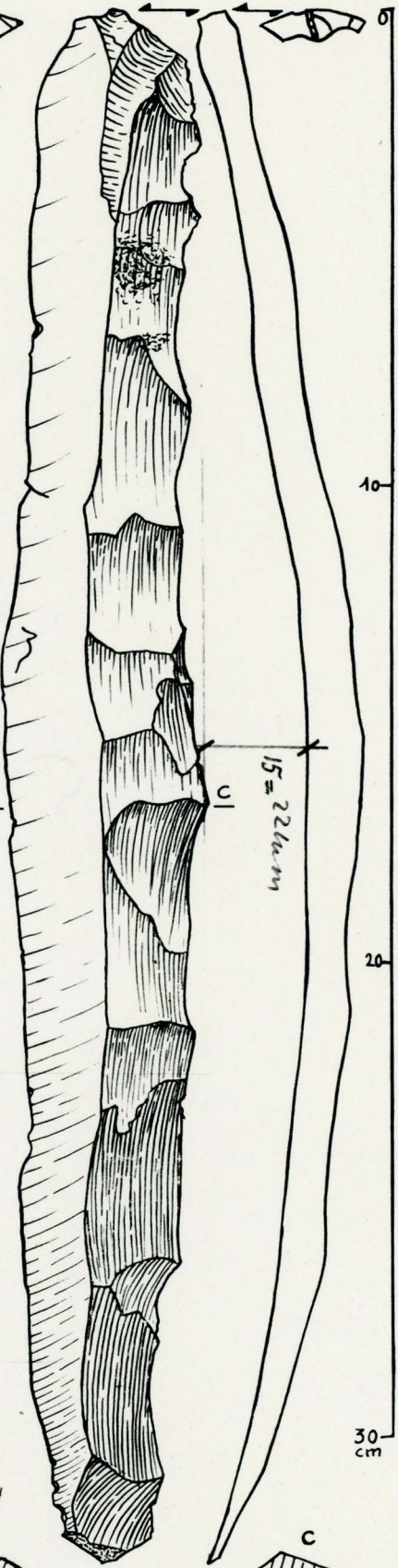
$$\frac{B}{l} = 15\%$$

 δ 

$$B = 19.5$$

$$l = 33.5$$

$$\frac{B}{l} = 14.9\%$$

 B 

131

B = 41

$$B = 11.5$$

$$\frac{B}{l} = 13.8\%$$

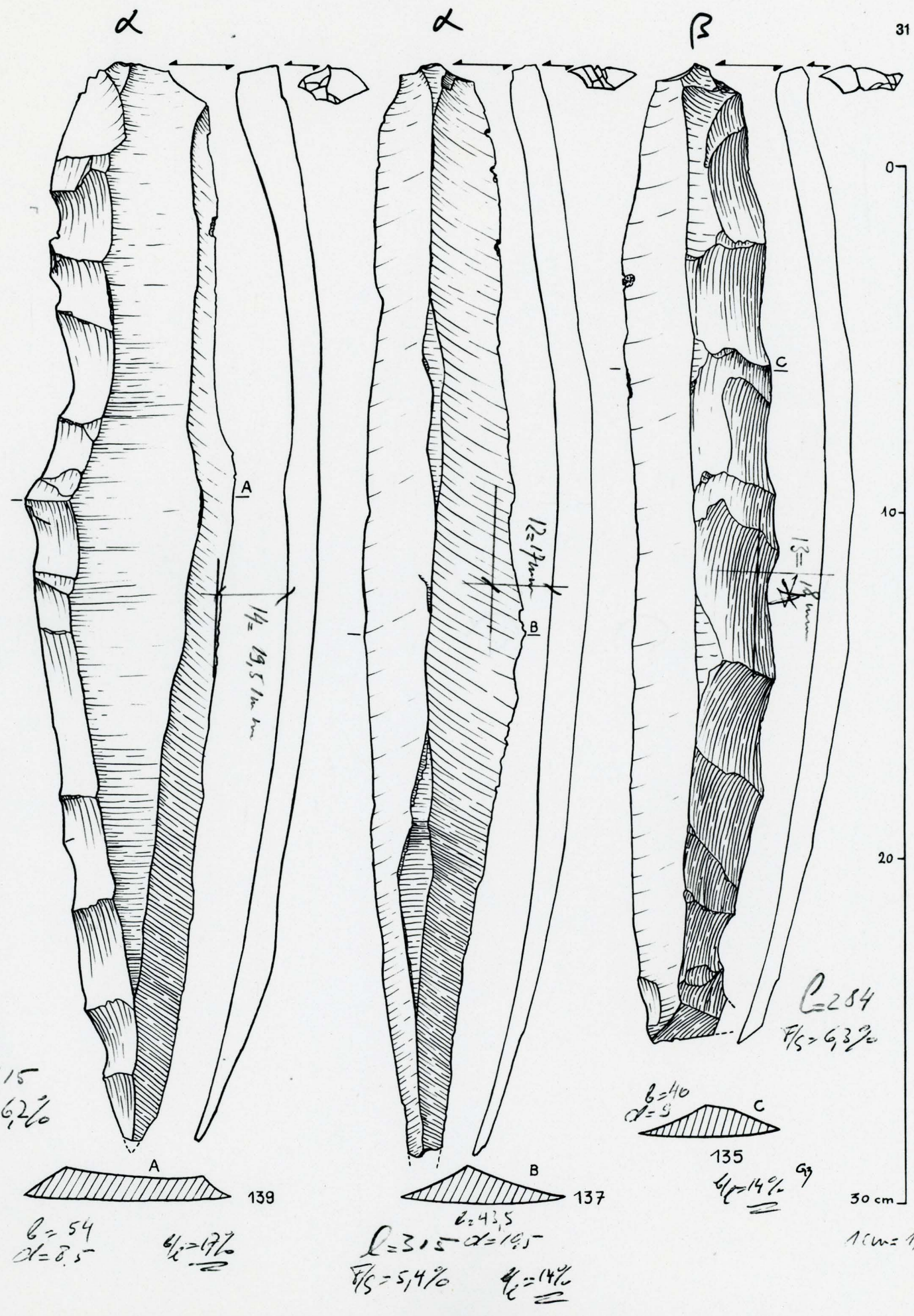
$$l = 32.5$$

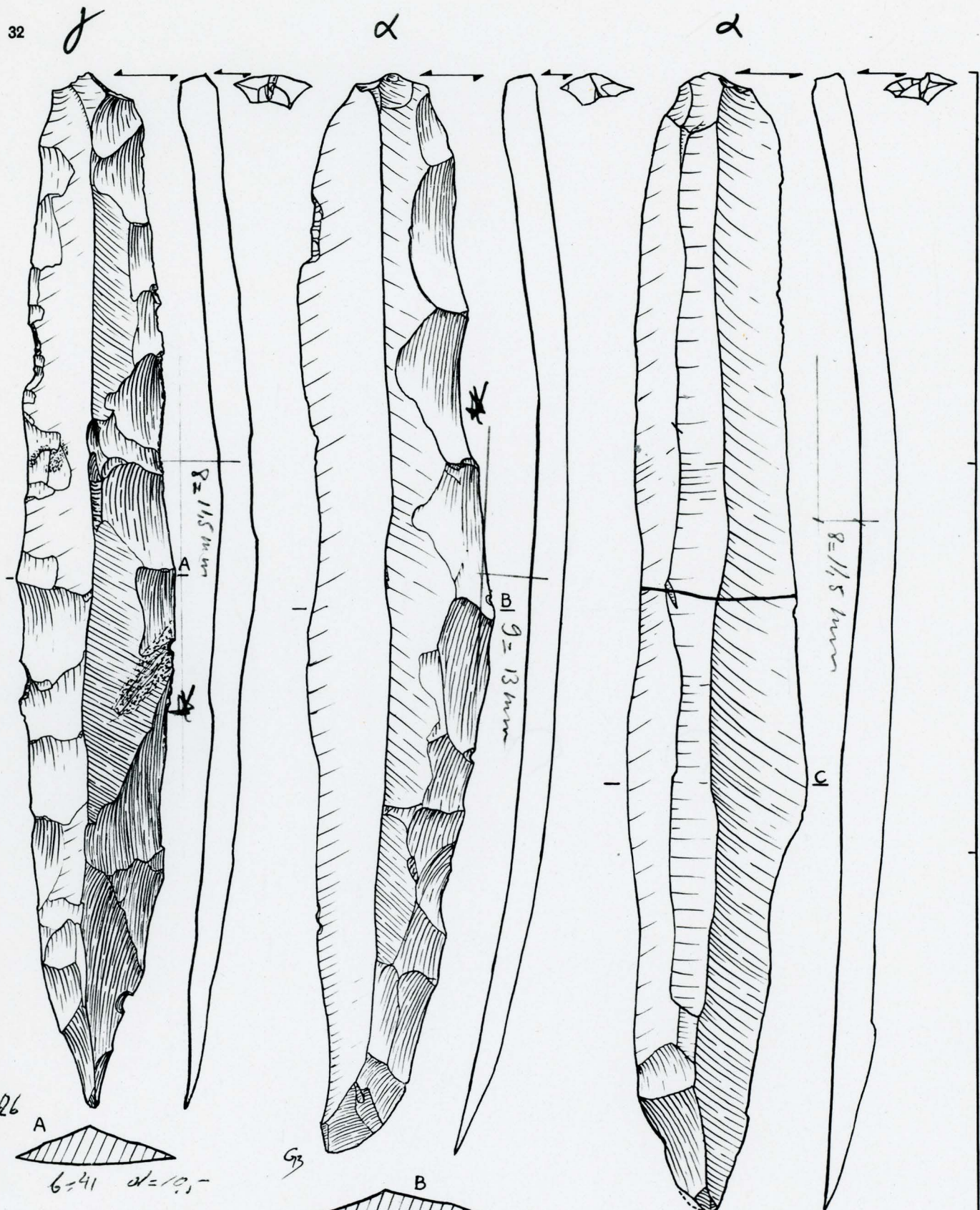
$$\frac{B}{l} = 6.8\%$$

$$20.55 \text{ cm} = 30 \text{ mm}$$

$$1 \text{ cm} = 1.47 \text{ m}$$

$$l = 6.16 \text{ m}$$





$\frac{l}{d} = 0,26$

A: $l = 41$ $d = 10,5$ $t = 1,5$ mm

$\frac{t}{d} = 15\%$

134

$\ell = 269$

$\ell_s = 4,3\%$

$\ell = 276$ $\ell_s = 4,7\%$

$\ell = 292$ $\ell_s = 3,9\%$

$\frac{t}{d} = 17\%$

2175: 30 cm CC. 6. 7. 16. 22

$\ell = 1405$ cm

$\ell = 46$

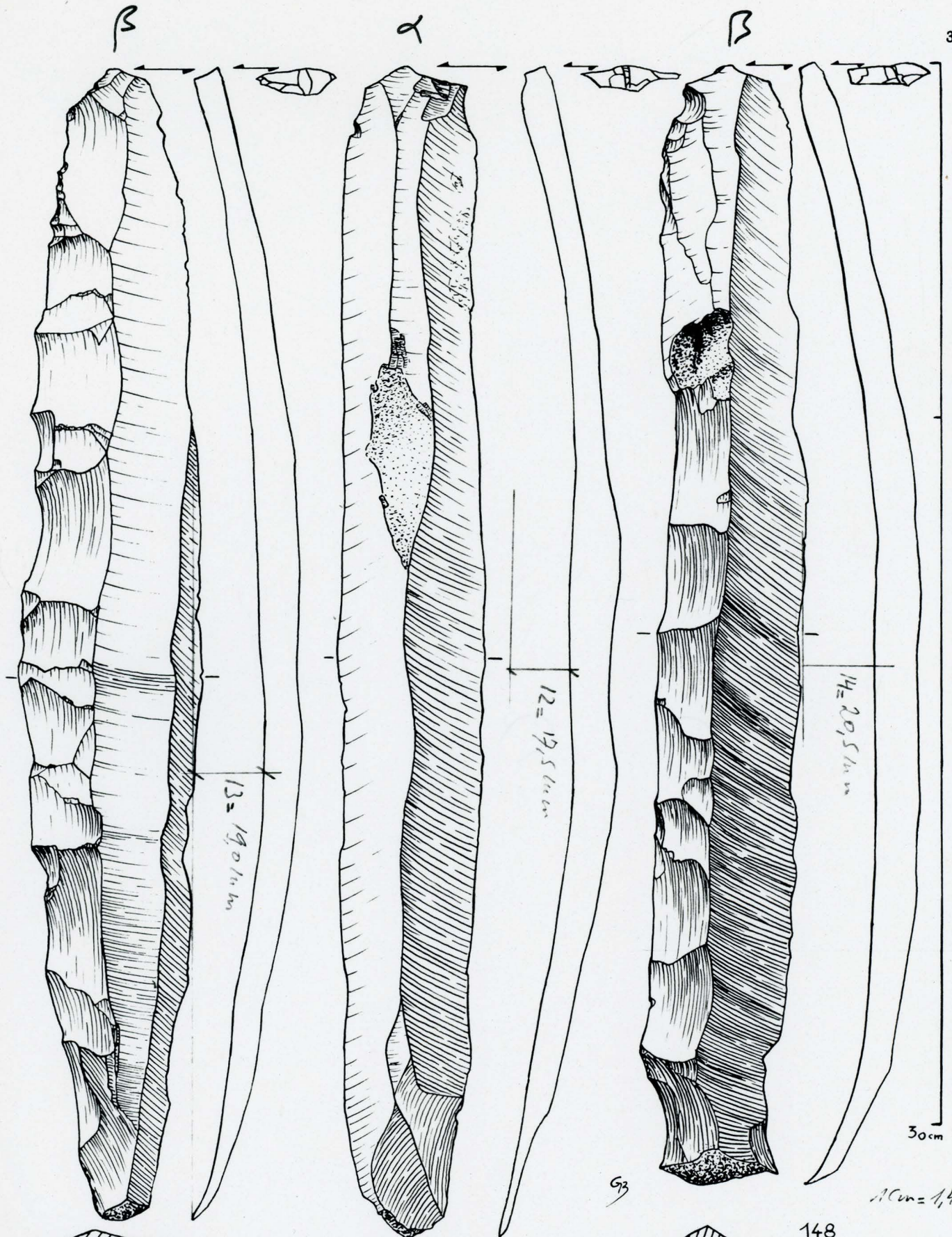
$d = 12$

$t = 1,5$ mm

$\ell = 146-147$

$d = 46$

$t = 1,5$ mm



143 $b = 5,1$
 $\alpha = 9,5^\circ$
 $C = 224^\circ$
 $F/S = 5,9\%$ $G/F = 16\%$

144 $b = 4,1$
 $\alpha = 14,5^\circ$
 $C = 33^\circ$
 $F/S = 5,3\%$ $G/F = 12\%$

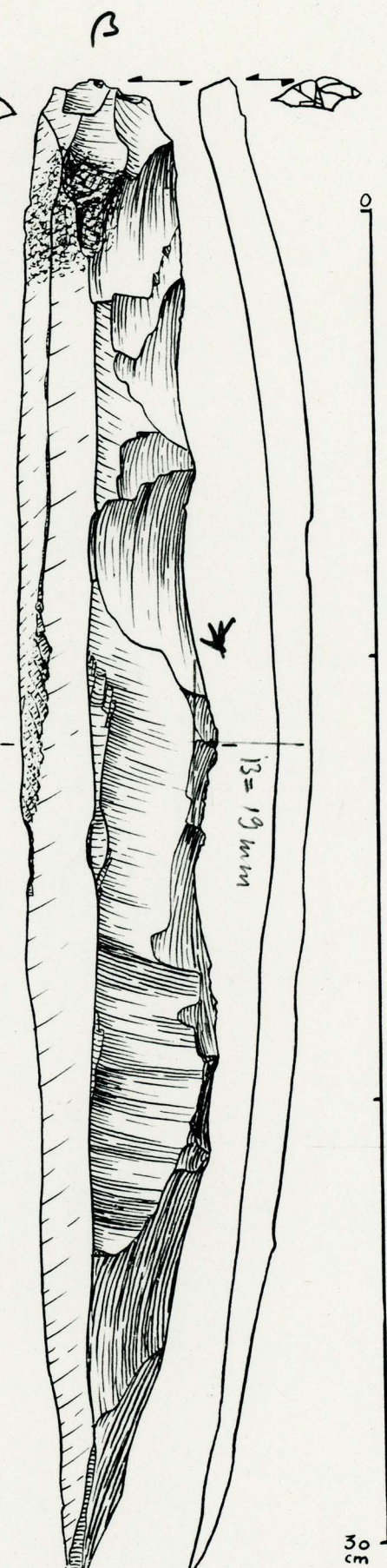
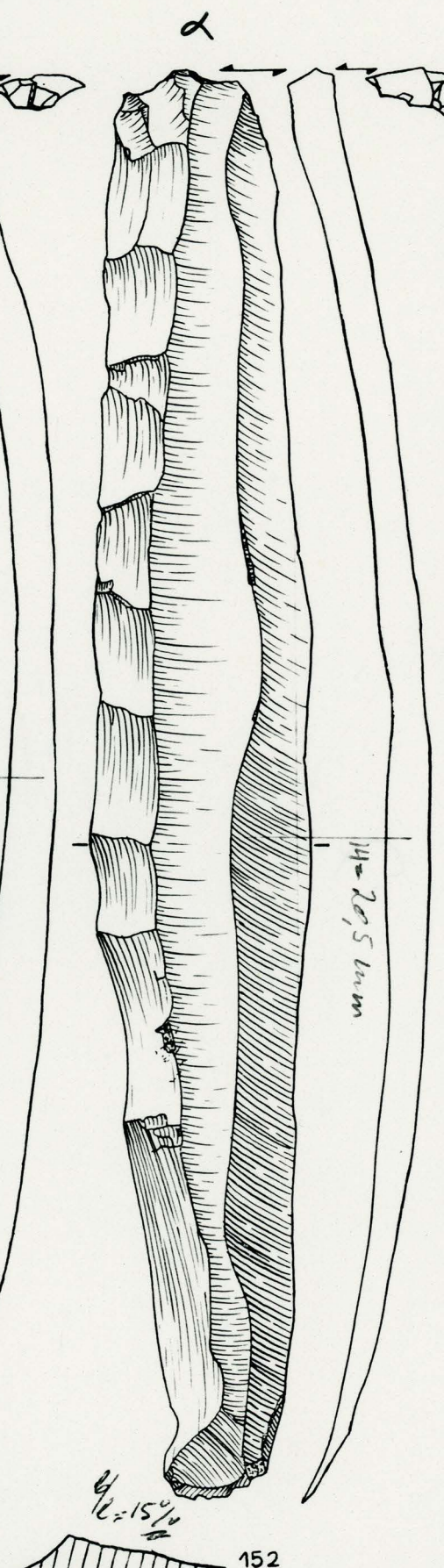
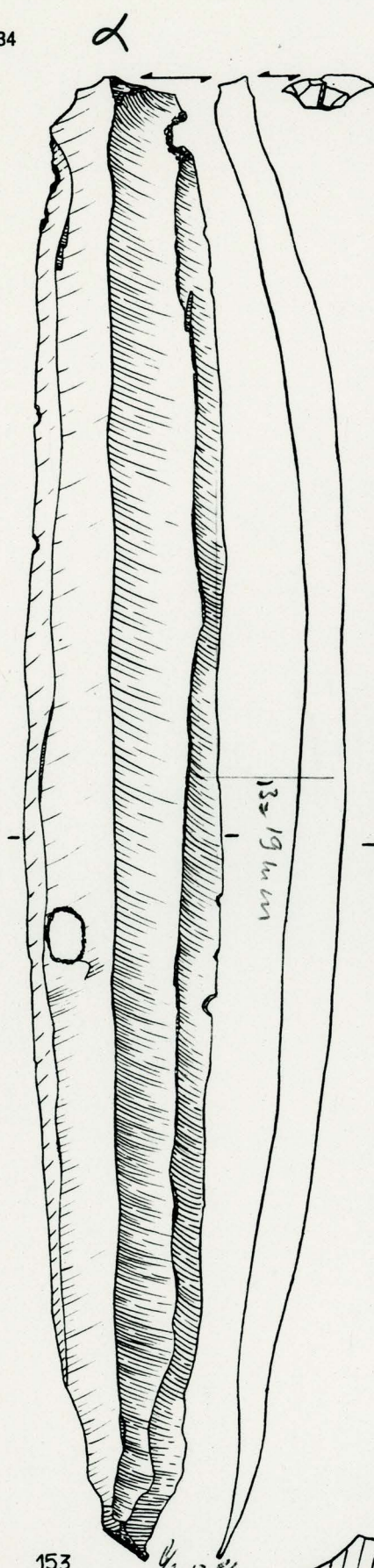
148 $b = 4,0$
 $\alpha = 12,5^\circ$
 $C = 315^\circ$
 $F/S = 6,5\%$ $G/F = 15\%$

СС.62. 16.28

201

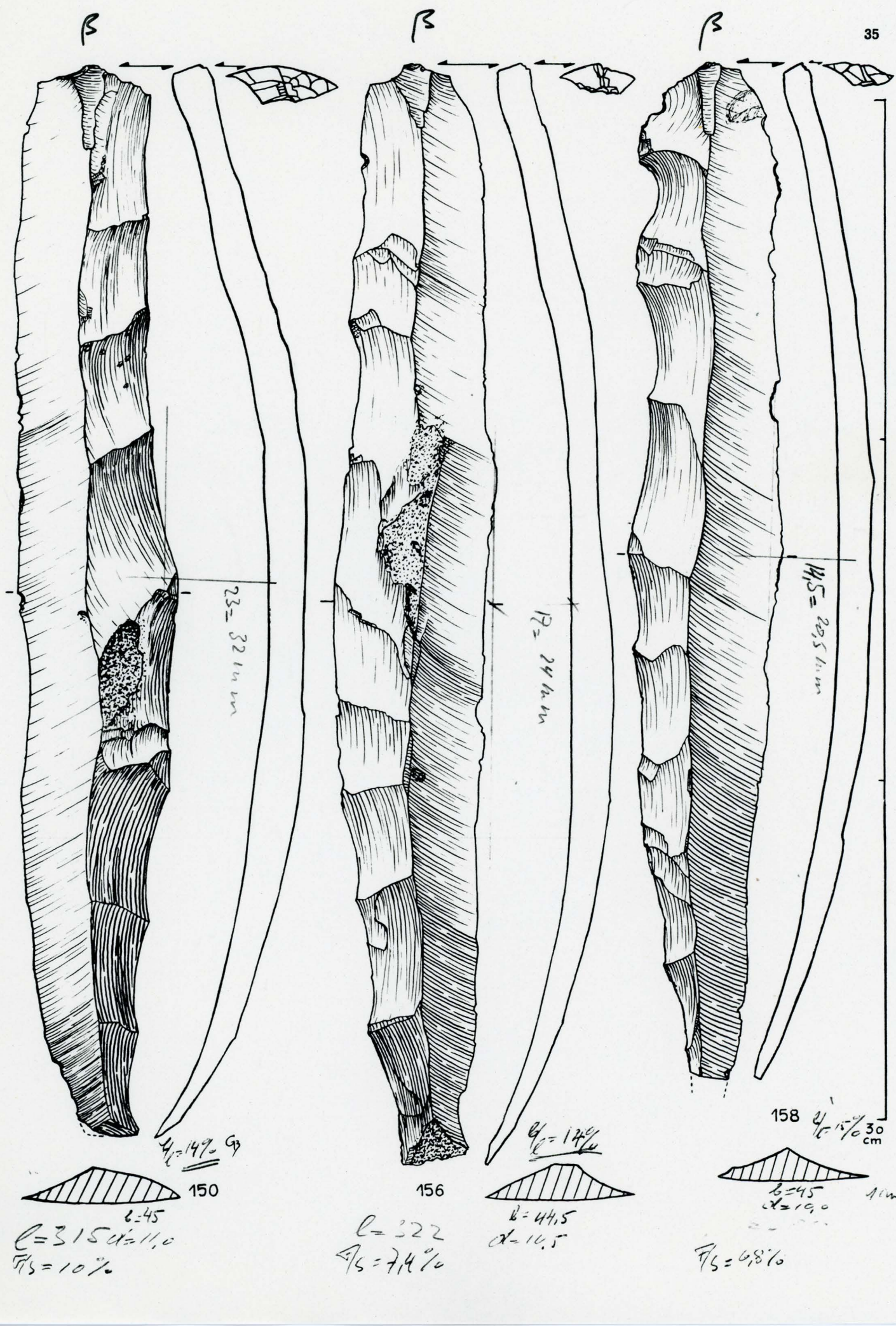
30 cm

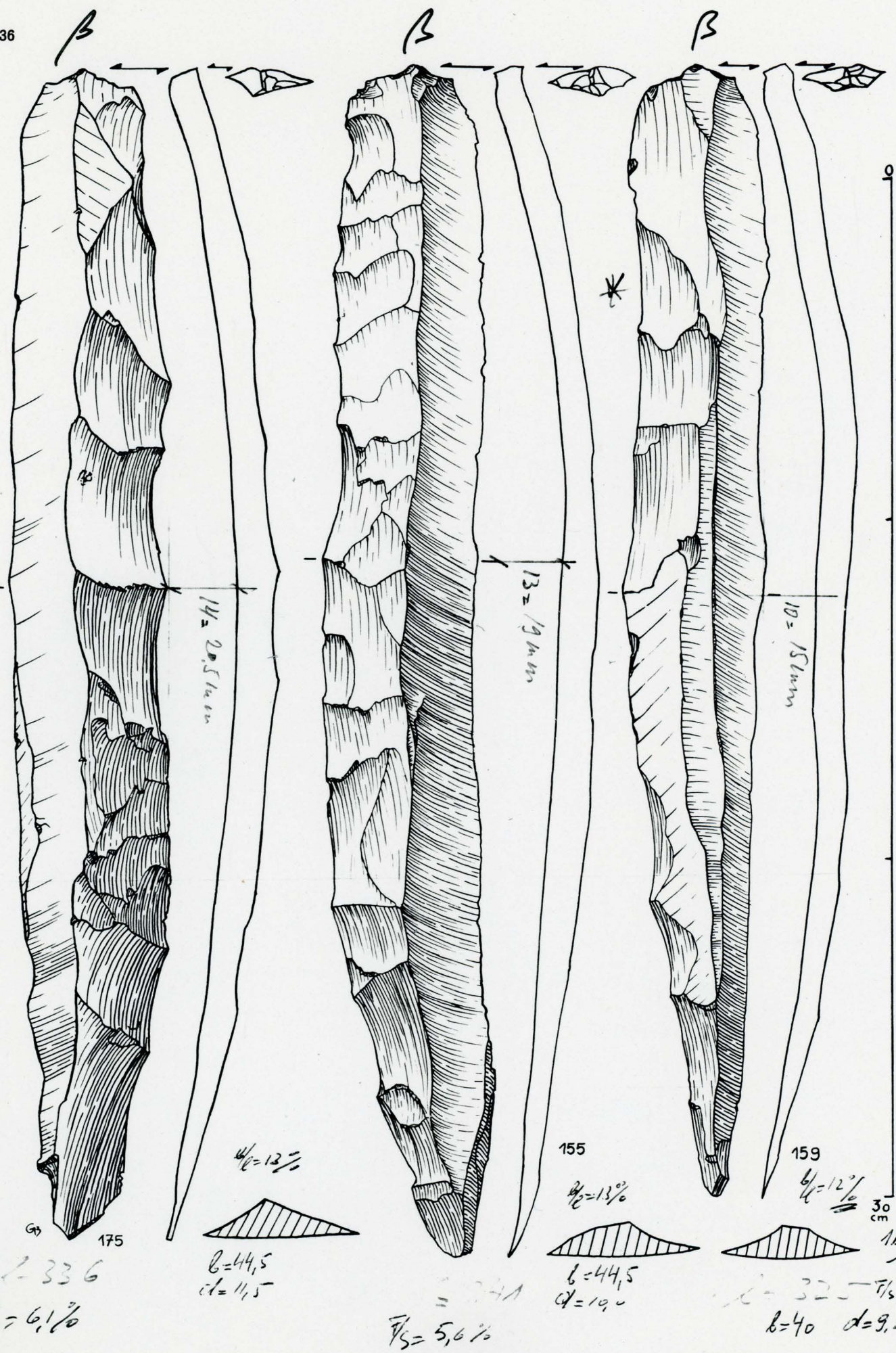
30 cm = 1,475



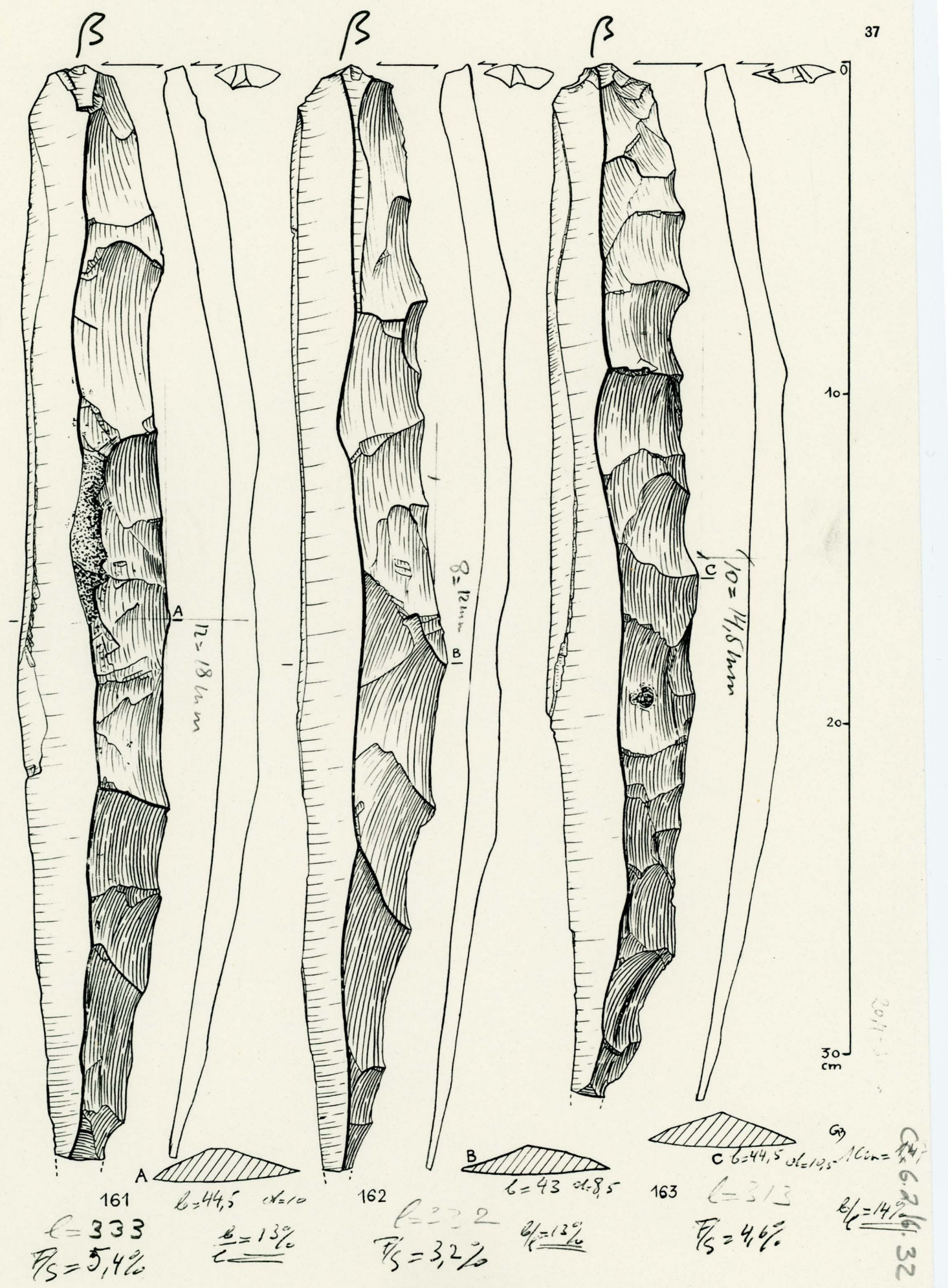
20,4 cm = 30 cm

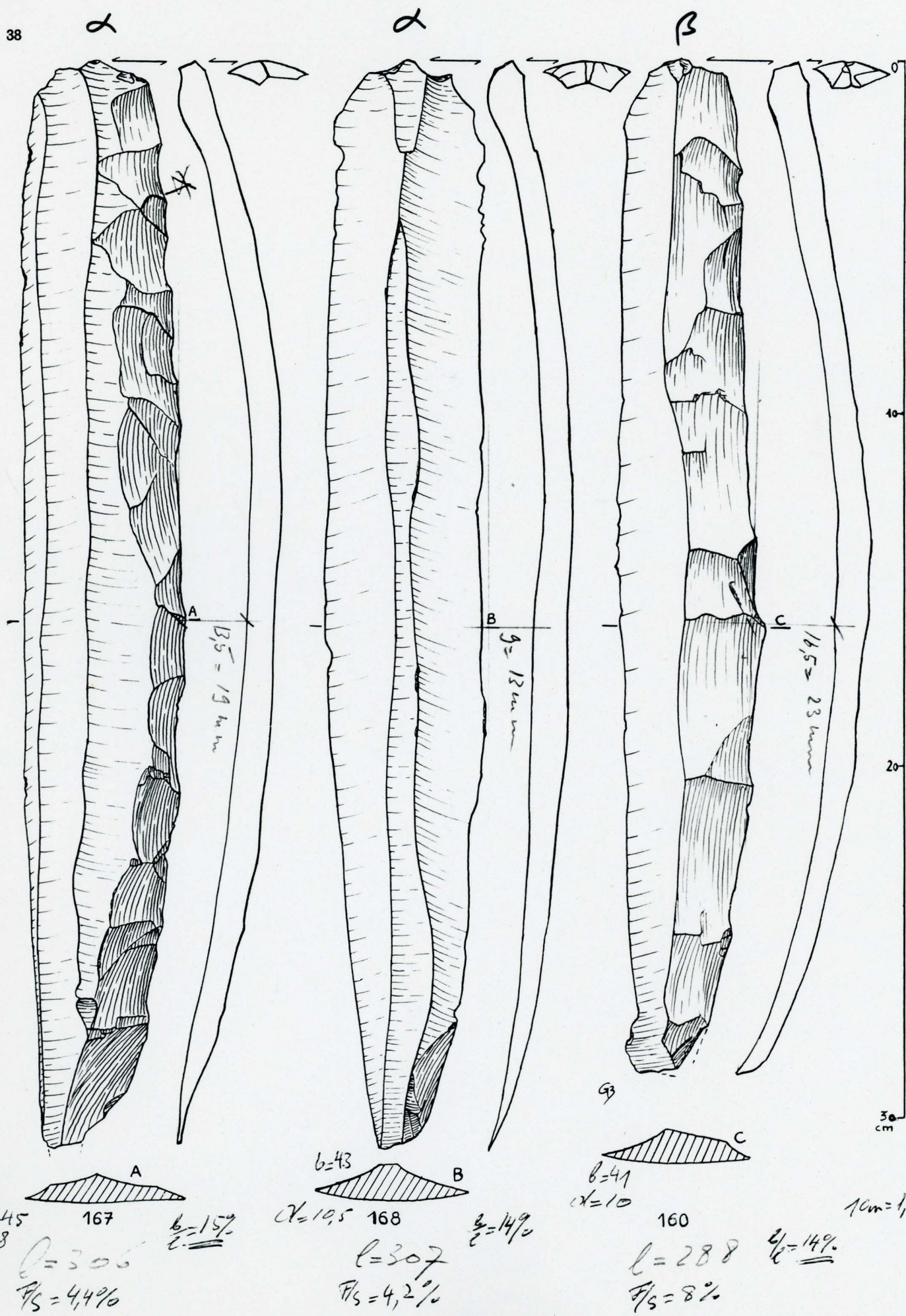
22.2.16.29



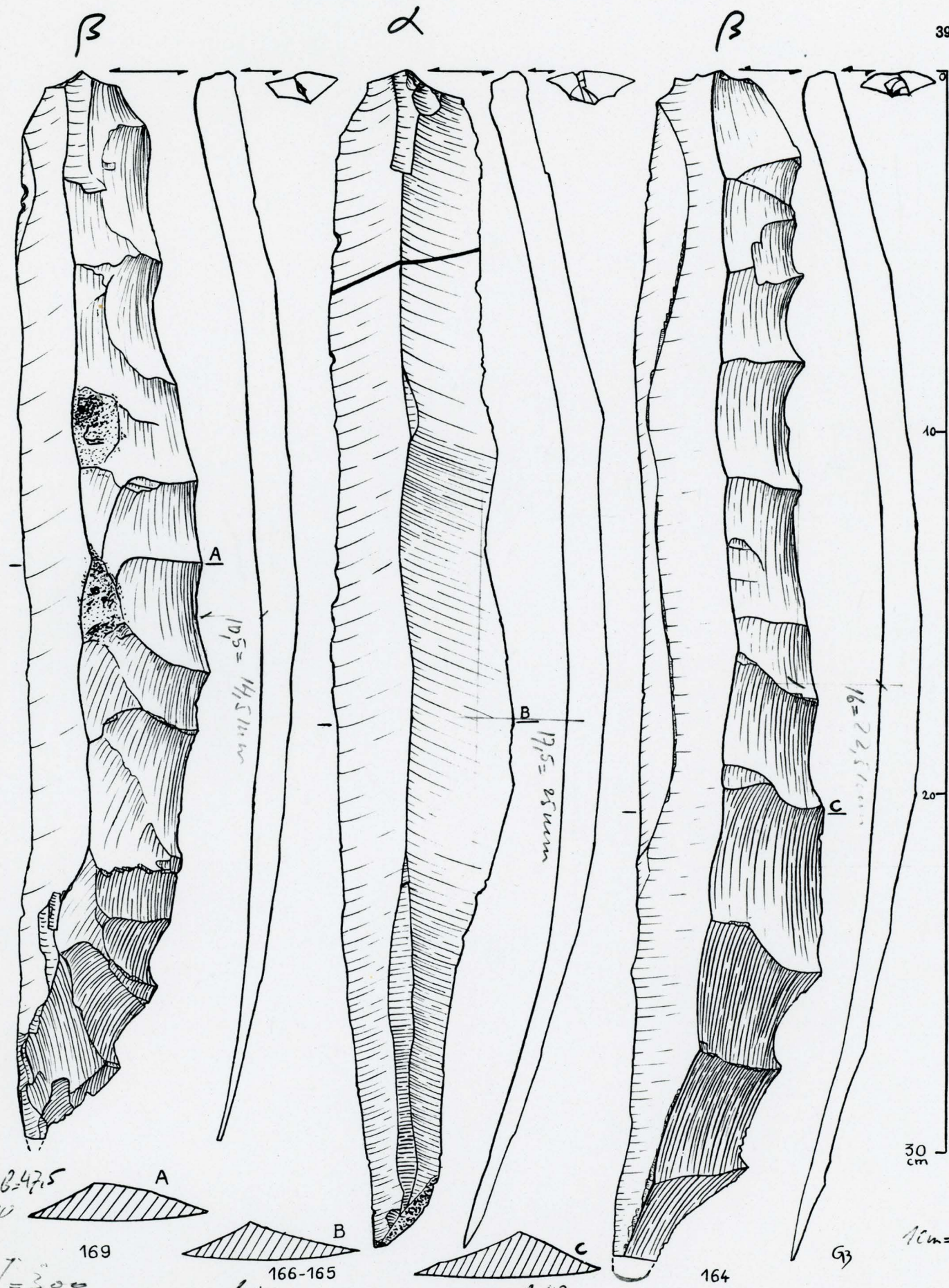


CC.6.2/6
1cm =
1,475



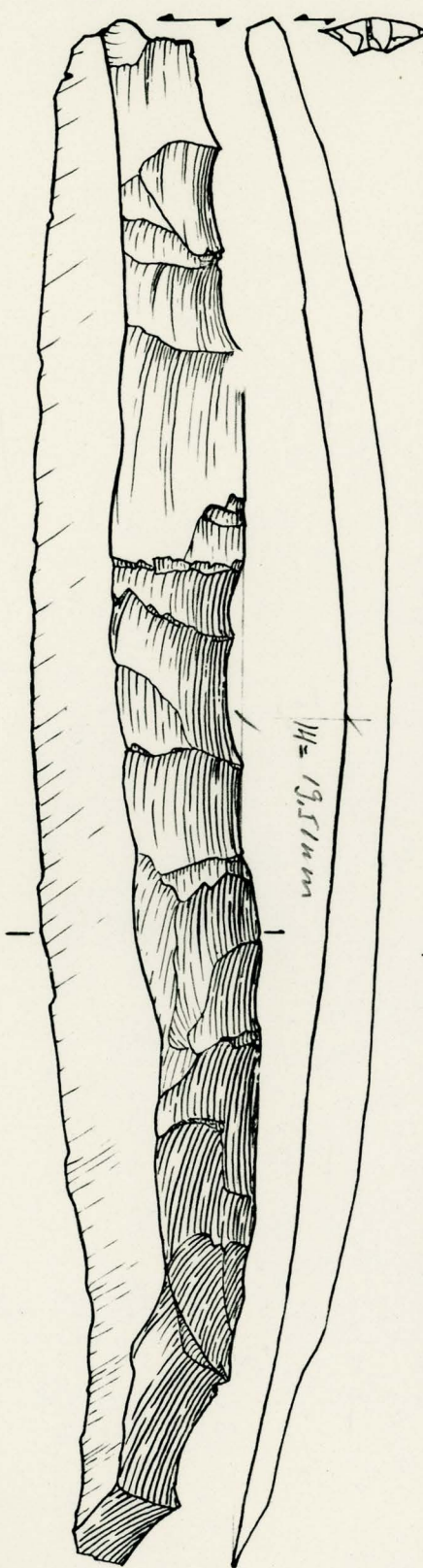


CCG.R.2/16.33



CC. 1.2.16.34

40

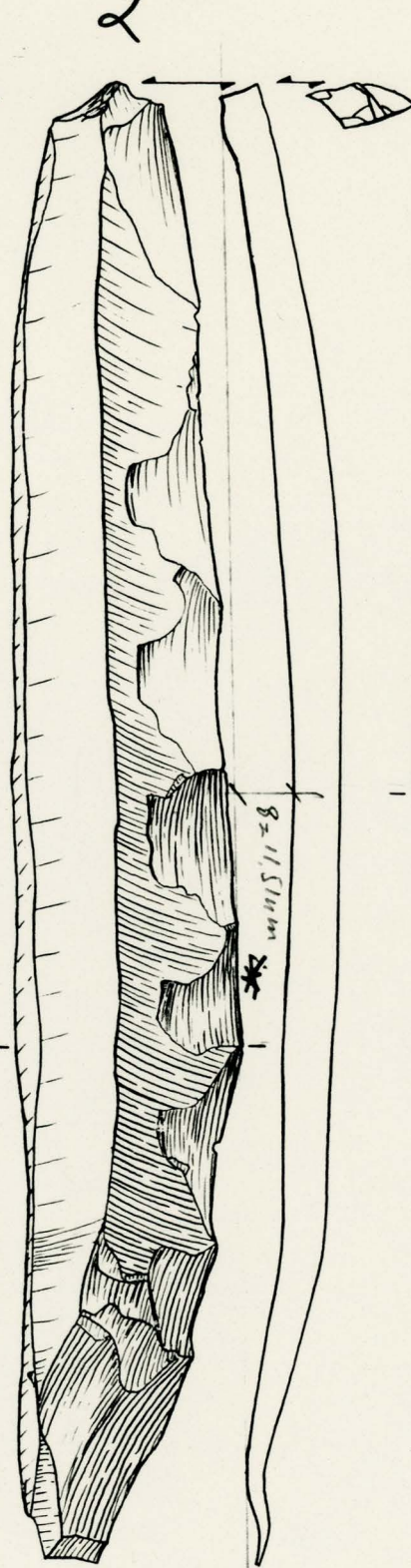
 β 

$$l = 298$$

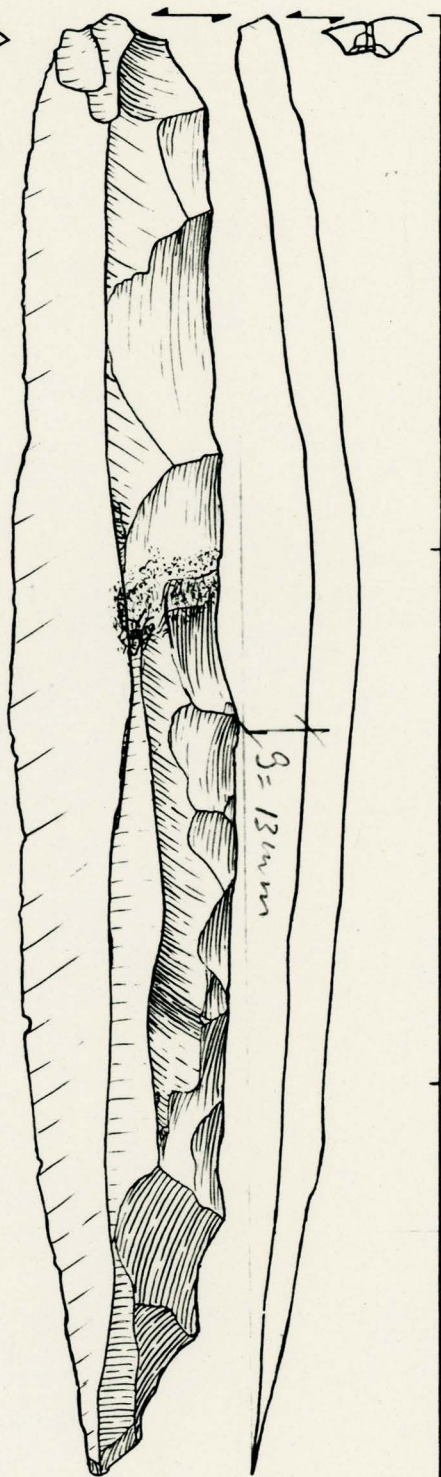
$$\beta/\ell = 6,5\%$$



$$\begin{aligned} &B = 176 \\ &\alpha = 42,1 \\ &H = 9 \\ &B/\ell = 14\% \end{aligned}$$

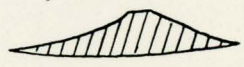
 λ 

$$\begin{aligned} &B = 177 \\ &\alpha = 92,1 \\ &H = 9 \\ &B/\ell = 15\% \end{aligned}$$

 β 

93

$$\begin{aligned} &l = 272 \\ &\beta/\ell = 4,8\% \end{aligned}$$



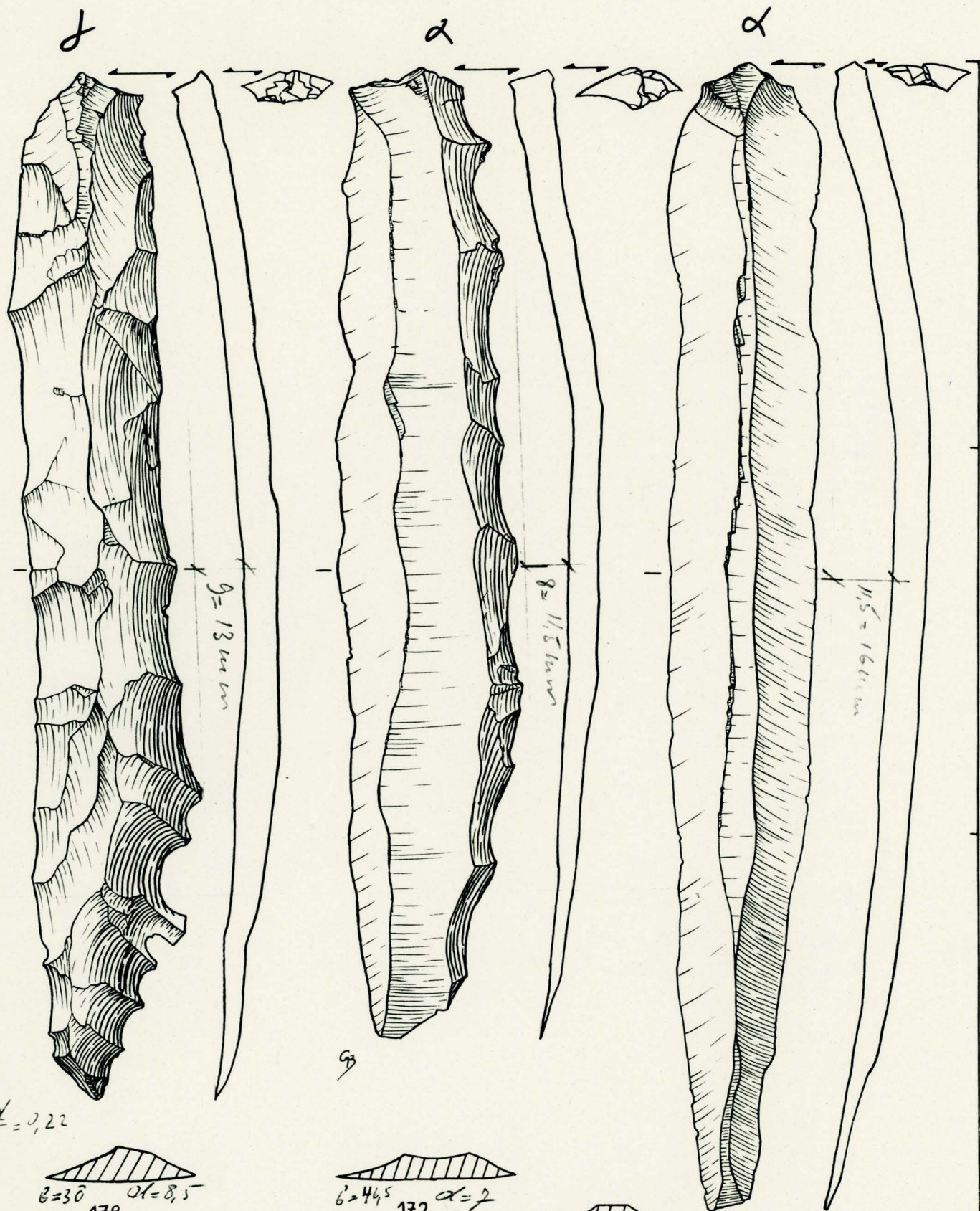
$$\begin{aligned} &B = 170 \\ &\alpha = 42,1 \\ &H = 8,5 \\ &B/\ell = 16\% \end{aligned}$$

30 cm

10m = 1,405

CC. 6. 2/16. 35

21,3 cm = 3,01 m



$\delta = 26,5$

$F_S = 4,9\%$

$B/\delta = 14\%$

$\delta = 22,0$

$F_S = 4,6\%$

$B/\delta = 15\%$

$B = 38,0 \text{ cm}$

$\alpha/\delta = 9$

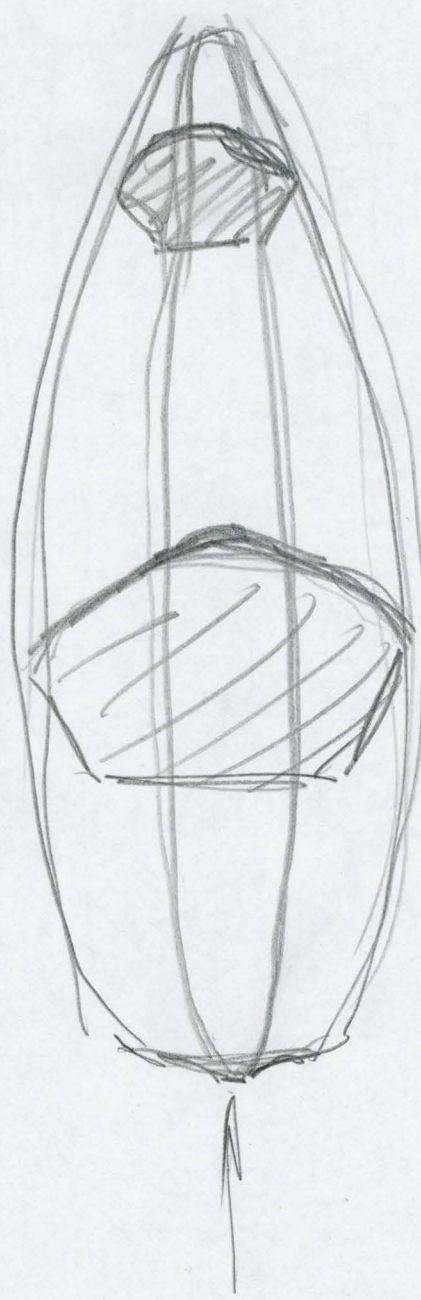
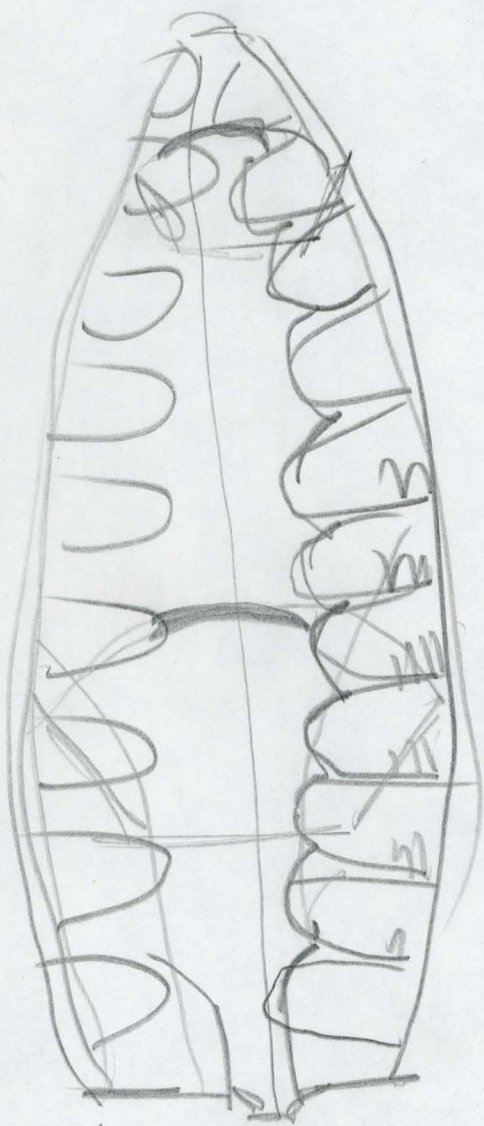
$B/\delta = 13\%$

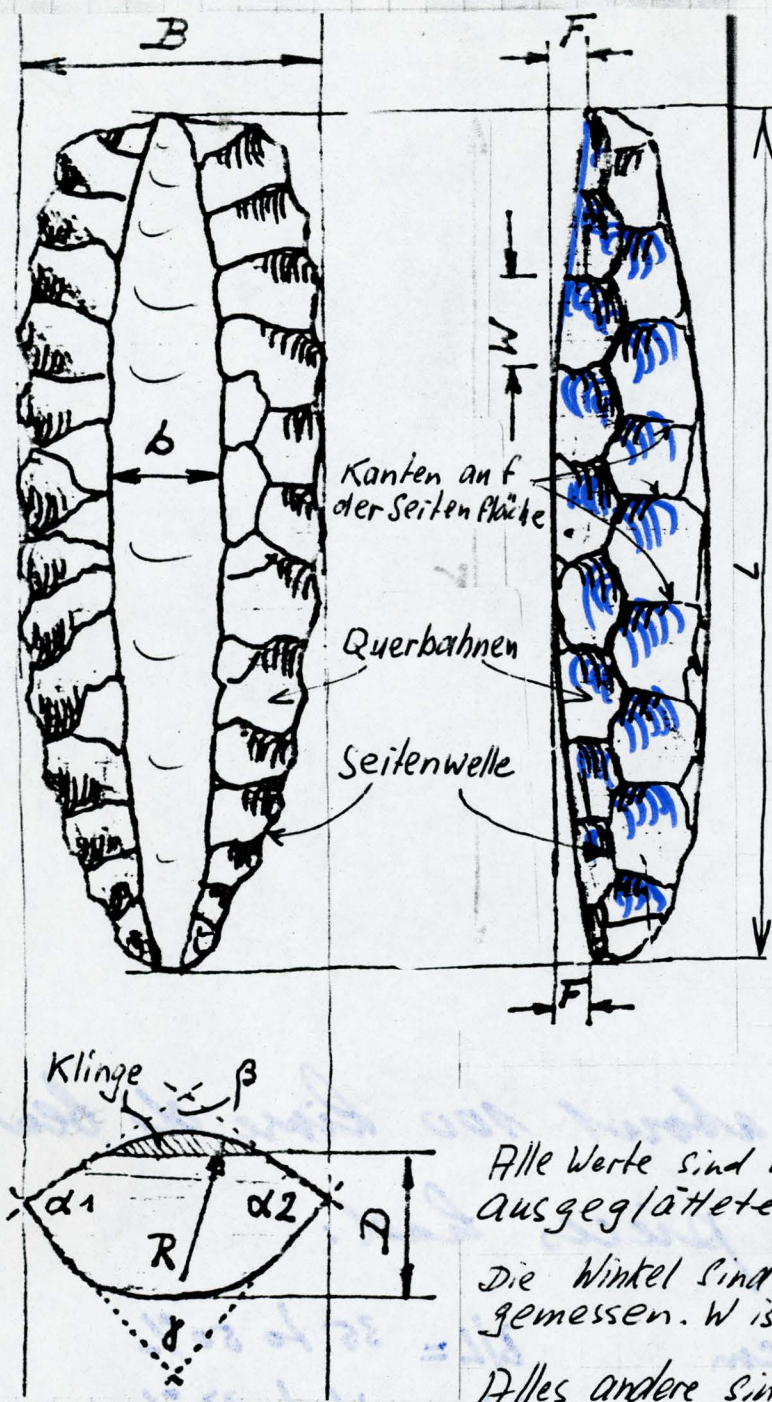
$C = 22,5$

$160 \text{ cm} = 140,5$

$F_S = 5,4\%$

CC.6.7.16.36





L = Länge Length
 B = Breite WIDTH
 D = Dicke THICKNESS
 F = Pfeil/Bogenhohe ARCH
 W = Wellenlänge Wave-length
 R = Krümmungsradius Radius
 b = Breite der letzten Klinge
 b/L = Klingenschlankheit
 F/L = Klingewölbung
 α = Seitenwinkel side angle
 β = Dachwinkel roof angle
 γ = Kielwinkel bottom angle
 $\alpha_1 + \alpha_2 + \beta + \gamma = 360^\circ$

Alle Werte sind auf eine idealisierte aus geglättete Form bezogen

Die Winkel sind im Bereich von B gemessen. W ist ein Mittelwert

Alles andere sind Maximalwerte

Abb 1. Nukleus des Typus Livre de beurre aus

Le Grand Pressing.

On jedem Fund ^{sind} werden die hier definierten geometrischen Maße bestimmt. Zusätzlich ist festzuhalten: Farbe, Anzahl Klingeballen oben und unten, Gestalt der Unterkante, charakteristische Grundrissform, Verlauf der oberen Klingeballen und Ursache des Produktionsabbruches. Die Ergebnisse werden statisch ausgewertet.

Hydro
HFCW
DRAFTING
H39A
Hydro-saw
24100A
to HFCW
solid tool

Sawdust
Sawdust 7001
Sawdust



I measured about 100 pieces of beavers!
30% of these pieces had:

$L =$ from	24 to 34 cm	$B/L =$	35 to 50 %
$B =$	9 to 15 cm	$D/L =$	16 to 33 %
$D =$	4 to 9 cm	$D/B =$	35 to 77 %
$b =$	38 to 50 cm	$b/L =$	14 to 19 %
$w =$	1,4 to 3,0 cm	$F/L =$	3 to 8 %

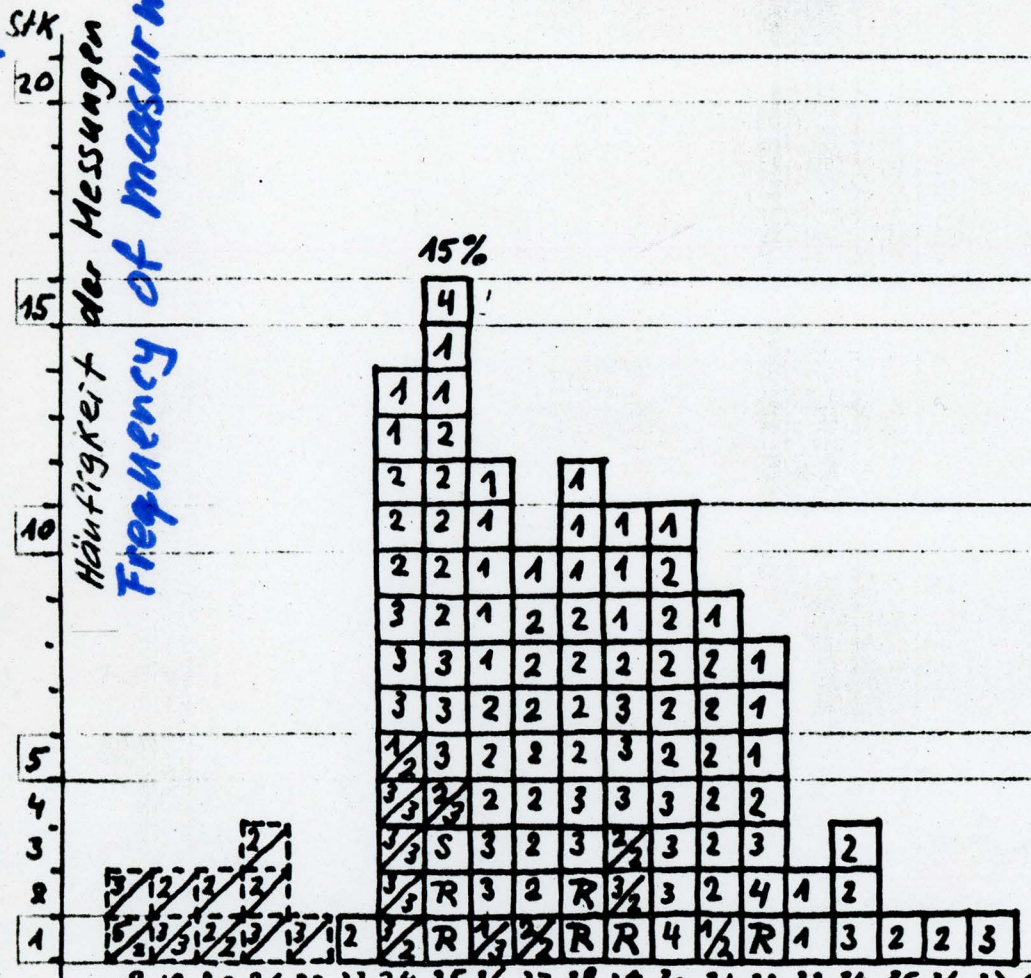
$\alpha =$ ideally 80°

$\beta =$ " 115°

$\gamma =$ " 85°

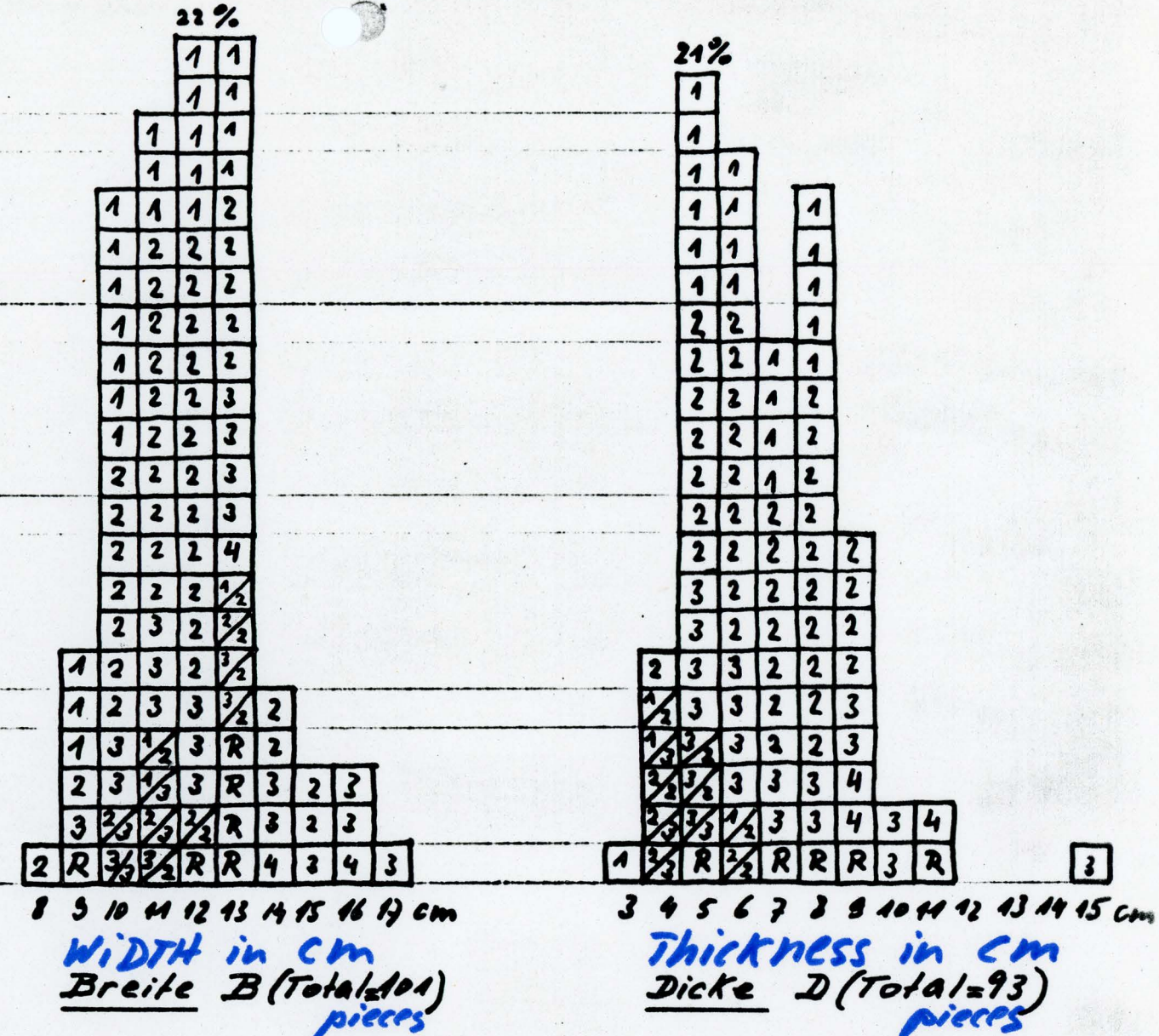
Pieces

Häufigkeit der Messungen Frequency of measurements



Length in cm

Länge L (Total=103)
pieces



Width in cm

Breite B (Total=101)
pieces

Thickness in cm

Dicke D (Total=93)
pieces

Abb.2 AUSMESSUNG DES "FUNDINVENTARS": HÄUFIGKEITSVERTEILUNG VON ERGEBNISSEN

normaler Livre de beurre

mini-livre de beurre (Abb.9)

3 Klingebahnen auf der Vorderseite ^{3 blades} front
2 Klingebahnen auf der Rückseite ^{2 "} back

Anzahl Klingebahnen auf der Vorderseite

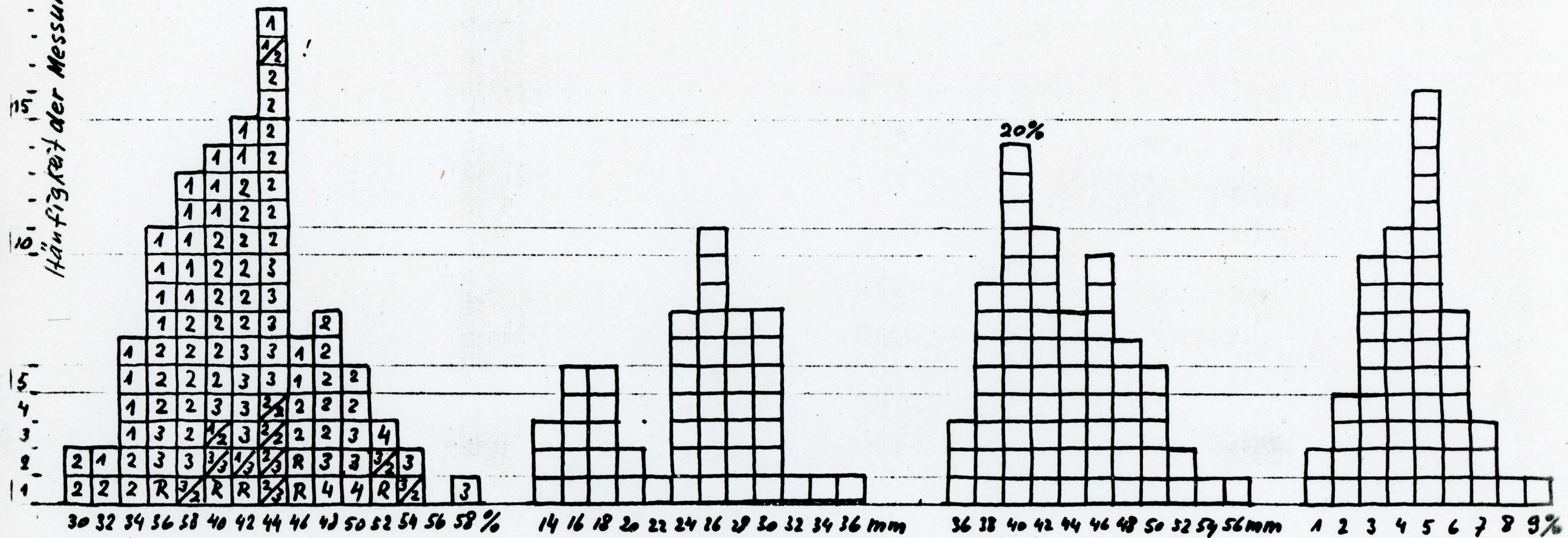
Two blades on front side

R Rohnukleus oder Anfangsnukleus Blank

S Seitenwellenabschlag (Abb. ~~5~~ 7)

% Häufigkeit in % des angegebenen Totals

SIK
20.
- - -
15.
- - -
10.
- - -
5.
- - -
0.
Häufigkeit der Messungen



Verhältnis $\frac{B}{L}$ in % (Total=101)

Wellenlänge W (Total=50)

Klingenbreite b (Total=65)

Klingenwölbung F in % (Total=52)

Abb. 3 AUSWERTUNG DER MESSUNGEN : HÄUFIGKEITSVERTEILUNG VON ERGEBNISSEN

✓ 2 Linre de beurre mit 2 Klingebahnen

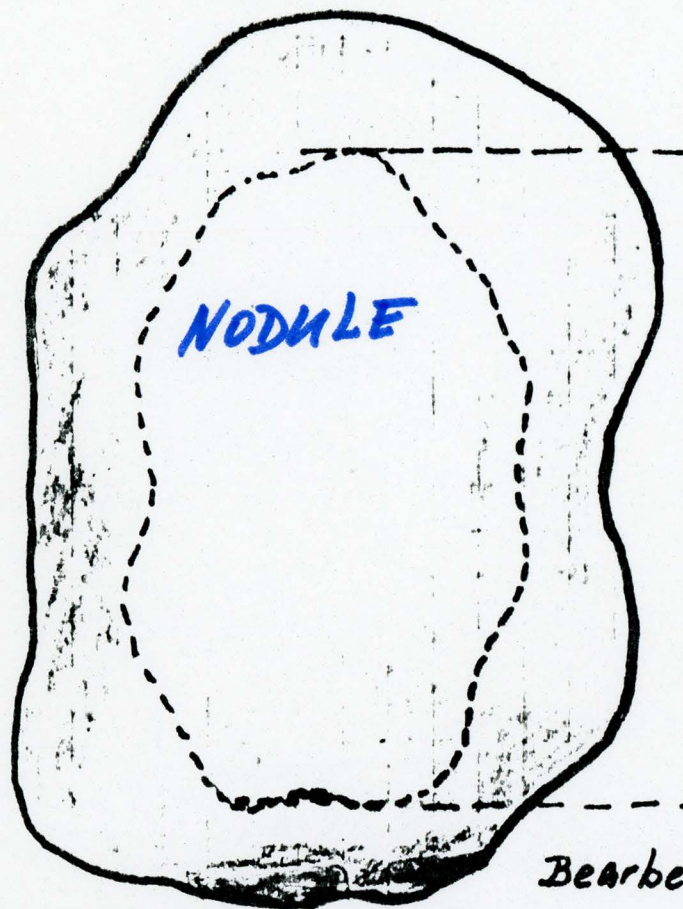
R Rohrnutkern oder Anfangsnutkern

2 Klingebahnen auf der Vorderseite
1 Klingebahn auf der Rückseite

% Häufigkeit in % des angegebenen Totals

Event. Nr. 2 !?

CC. 6.2. / 6.40



BLANK

Bearbeitungsschema im Grundriss.

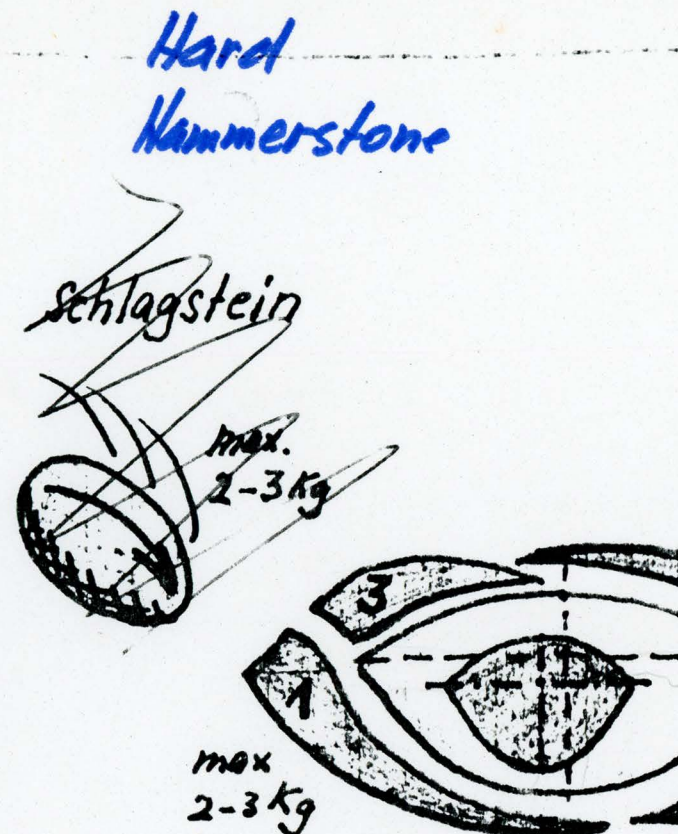
Materialbeschaffung:

Rohknollen im Grundriss

Eignungsprüfung:

Abschläge mit schweren Klopfsteinen

Abb. 8 PHASE 1 (DER LIVRE DE BEURRE-TECHNIK: DIE VORBEREITUNG
4 mol²)



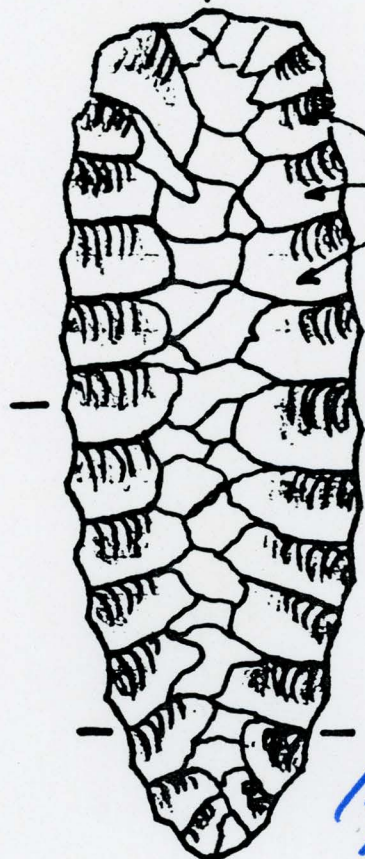
The core is oriented parallel to the nodule!

Rohnklaus:

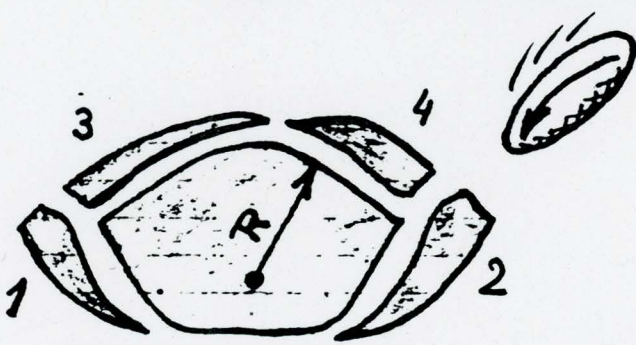
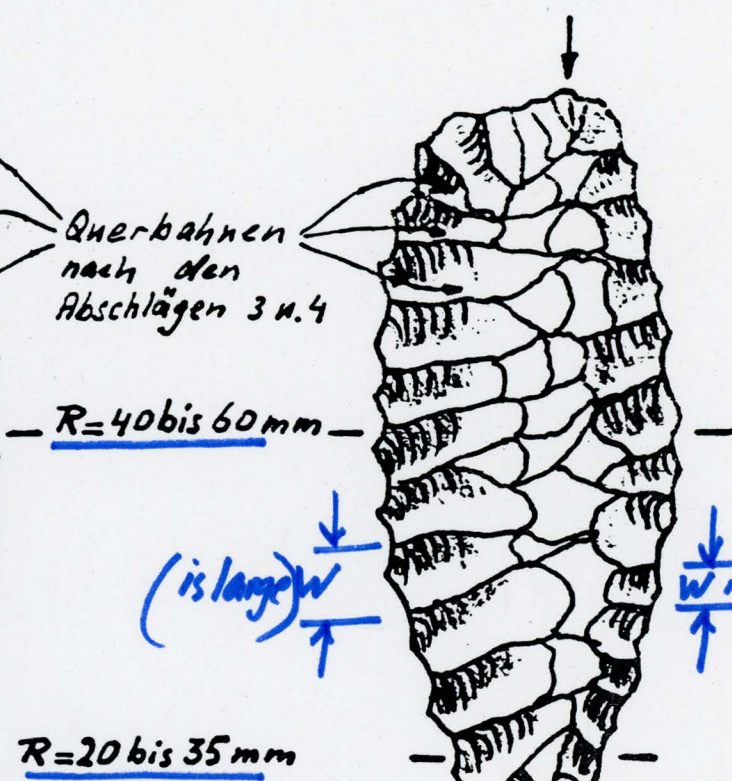
Rohnklaus liegt parallel zum ursprünglichen Rohknollen

core before detaching first blade

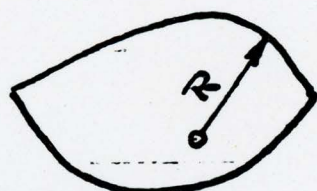
erster Klingenschlag



erster Klingenschlag



Symmetrical
symmetrischer Querschnitt
 R =Krümmungsradius



asymmetrical
asymmetrischer Querschnitt.
Unterseite kann flach oder gewölbt sein

Abb. 5 PHASE 2 DER LIVRE DE BEURRE-TECHNIK:
DER ROHNUKLEUS

CC. 6.2.16.42

punch
or
hammer??

erste Klinge

indirekter
Schlag mit
Stössel

zweite Klinge:

Axe um halbe Klingen-
breite verschoben

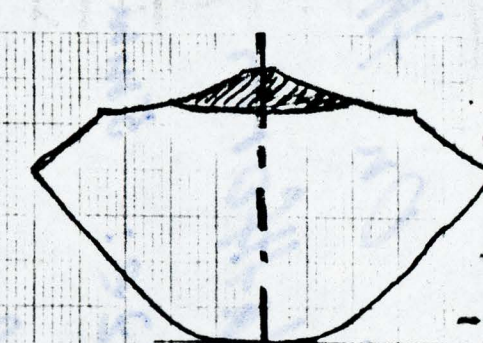
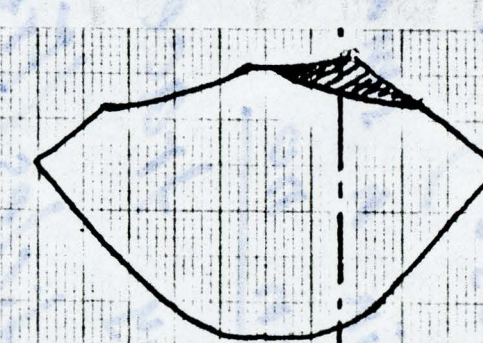
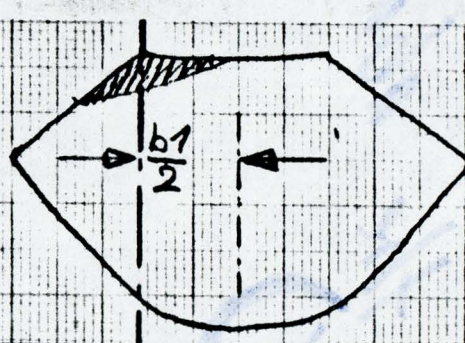
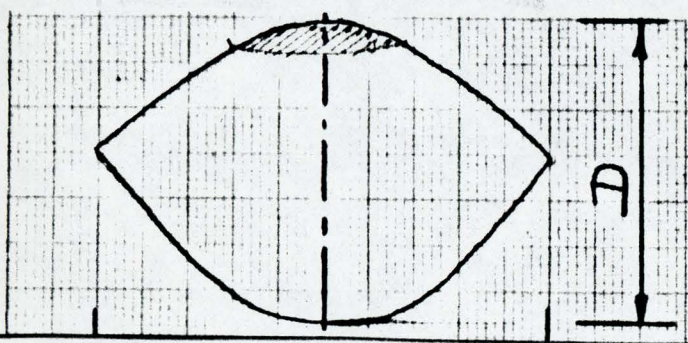
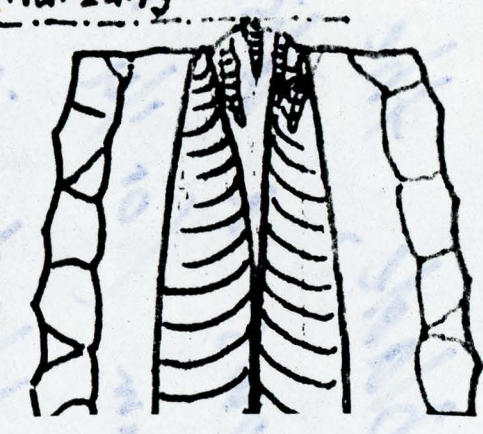
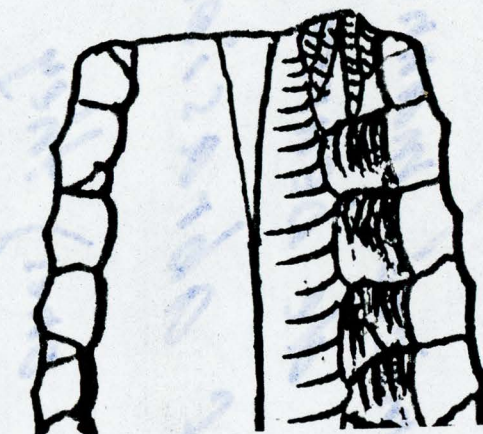
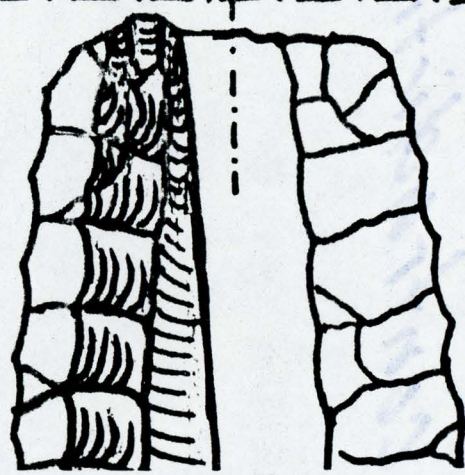
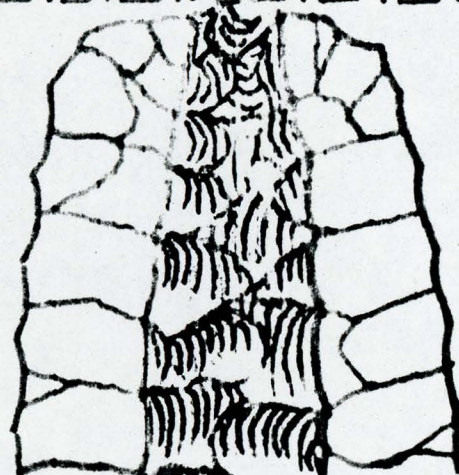
$$\frac{b}{2}$$

dritte Klinge:

Schlagfläche
immer frisch
präpariert

vierte Klinge:

Verkürzung ca 10mm
pro Klinge



Klingentyp I:
ganzseitig mit
Querbahnen be-
deckt

Klingentyp II:
halbseitig (links) mit
Querbahnen bedeckt

Klingentyp III:
halbseitig (rechts) mit
Querbahnen bedeckt

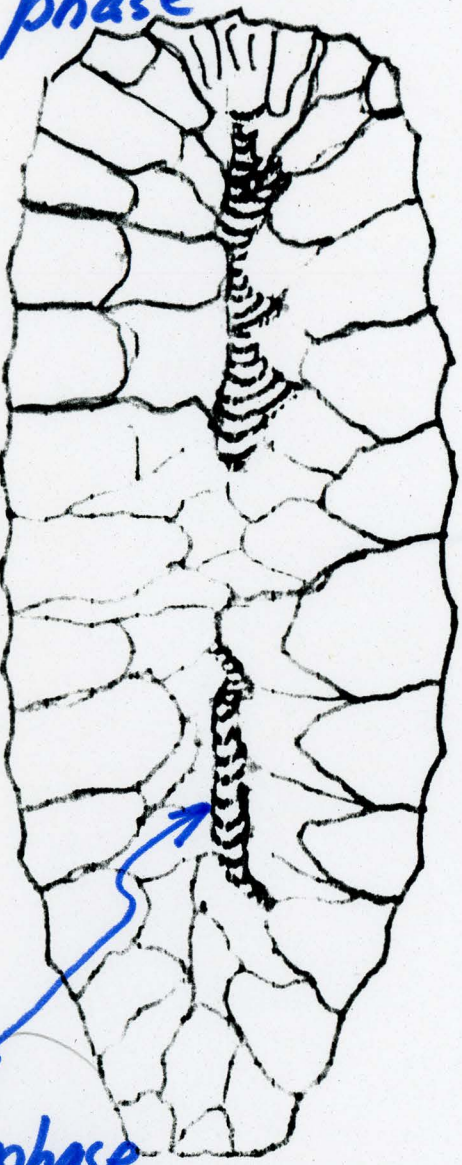
Klingentyp IV:
oben ganzseitig
glatt

Abb. #5 PHASE 3 DER LIVRE DE BEURRE-TECHNIK: DIE KLINGENSCHLÄGE IM
ABLAUF VON LINKS NACH RECHTS

- The problem of punch or hammer is open. On the blade, the isolated small platform shows a distinct lip Natural size: 5mm x 5mm (or $\frac{1}{4}$ inch)
- The platform on the blade is clearly (in all cases!) roughened/abraded) or shattered in a small micro-manner. However on no livre de beurre could I find any trace of abrasion.

(In the articles (French ones) they never studied the blades and the cores and therefore the above contradiction went unnoticed)

CORE in second or third phase

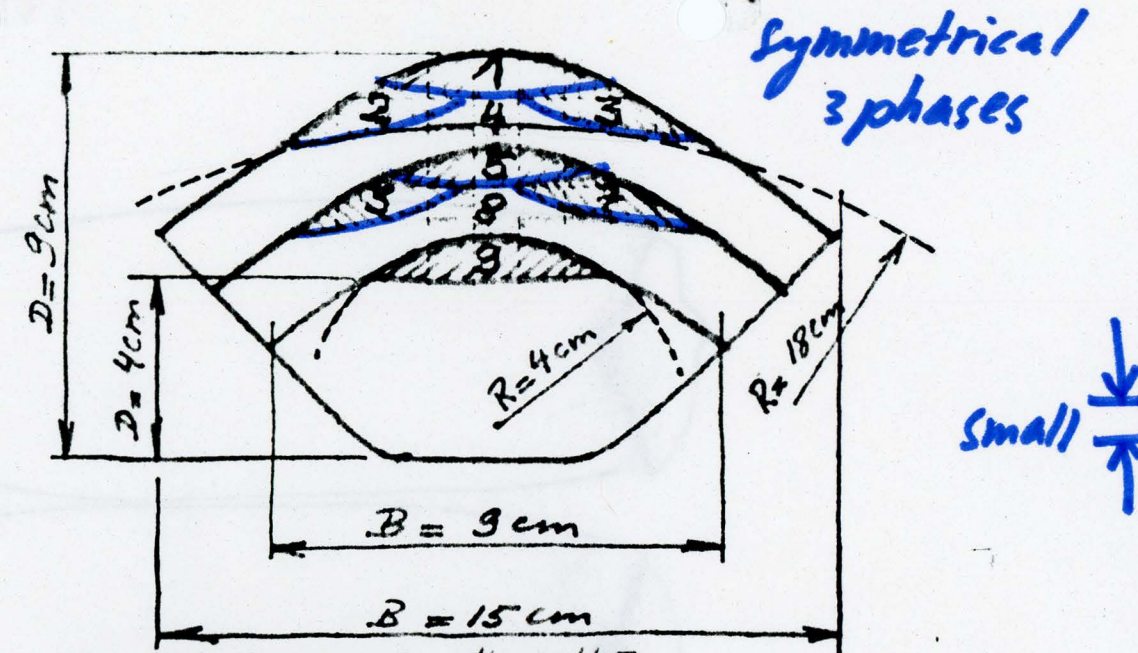


blade
from
first phase

Nachbearbeiter Rohnukleus mit Spuren der vorangegangenen Klingenserie. Klingentyp II aus einer Wiederholungsphase. Rechts sind Querbahnen der Nachbearbeitung sichtbar.

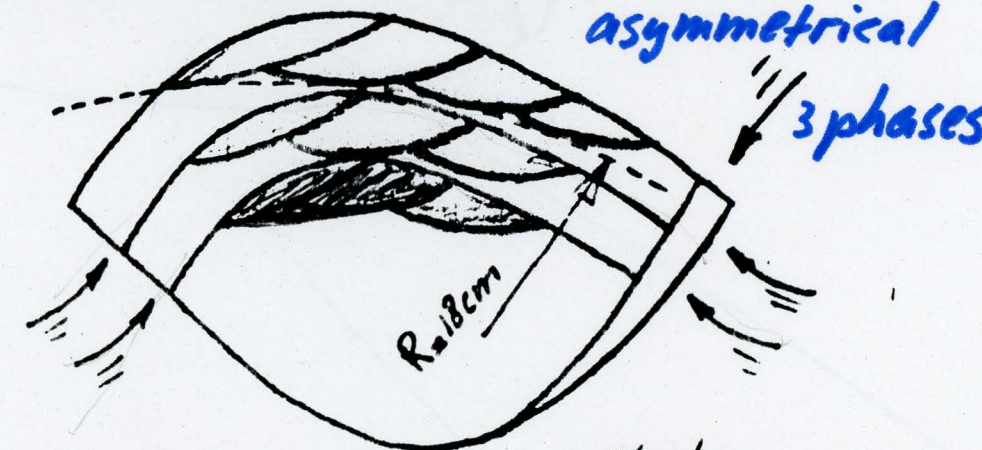


blade
from
second
phase



Symmetrical
3 phases

small ↓
↓

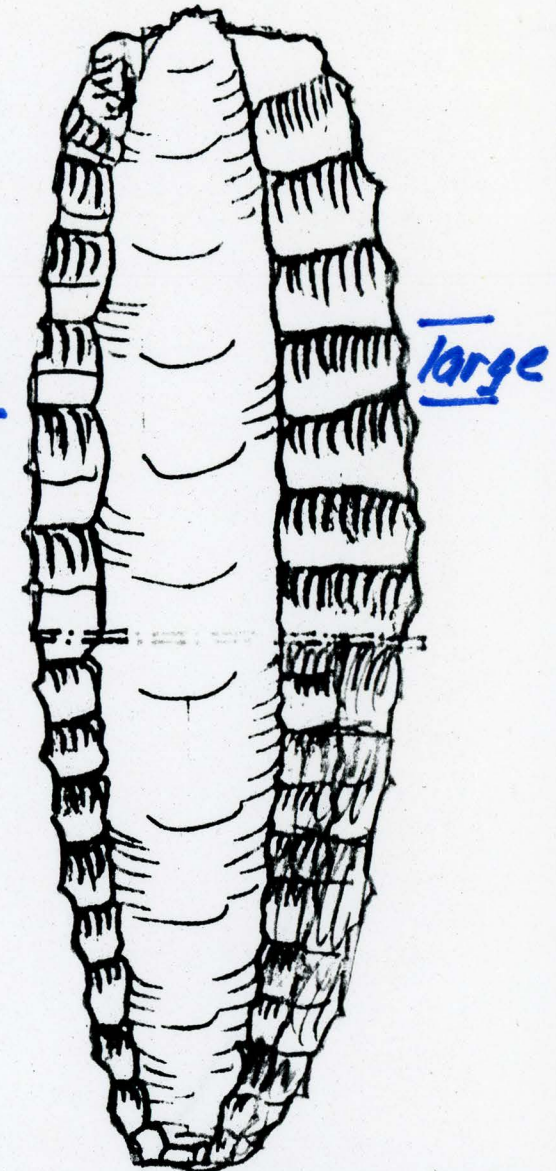


asymmetrical
3 phases

ideale

Hausübliches Schema für die symmetrische und asymmetrische Anordnung der Klingenserien. Maximale Ausbente ca 12 Klingen. Nachbearbeitung einseitig (links) oder wechselseitig (rechts)

Bei sehr schmalen Endnuklet mass die Querbearbeitung feiner ausgebildet werden.
Rechts: W= 28 mm
Links: W= 15 mm



large

Abb 6 PHASE 4 DER LIVRE DE BEURRE-TECHNIK: DIE WIEDERHOLUNG

(Till here everything is clear!)

Will you stay with us again?



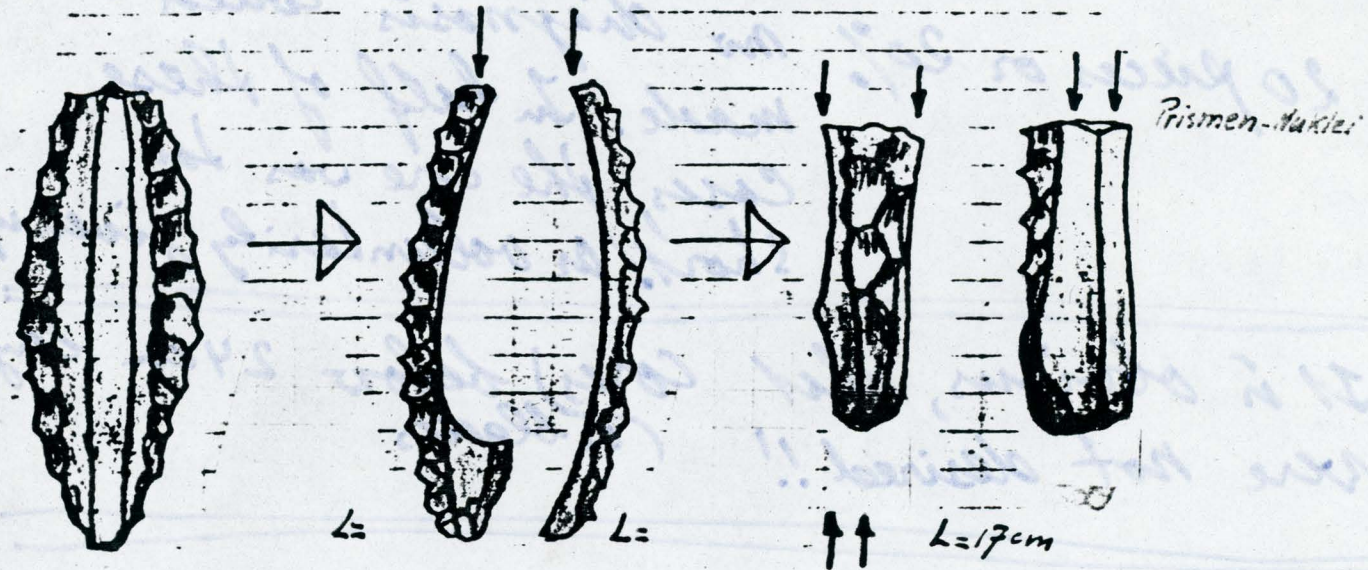
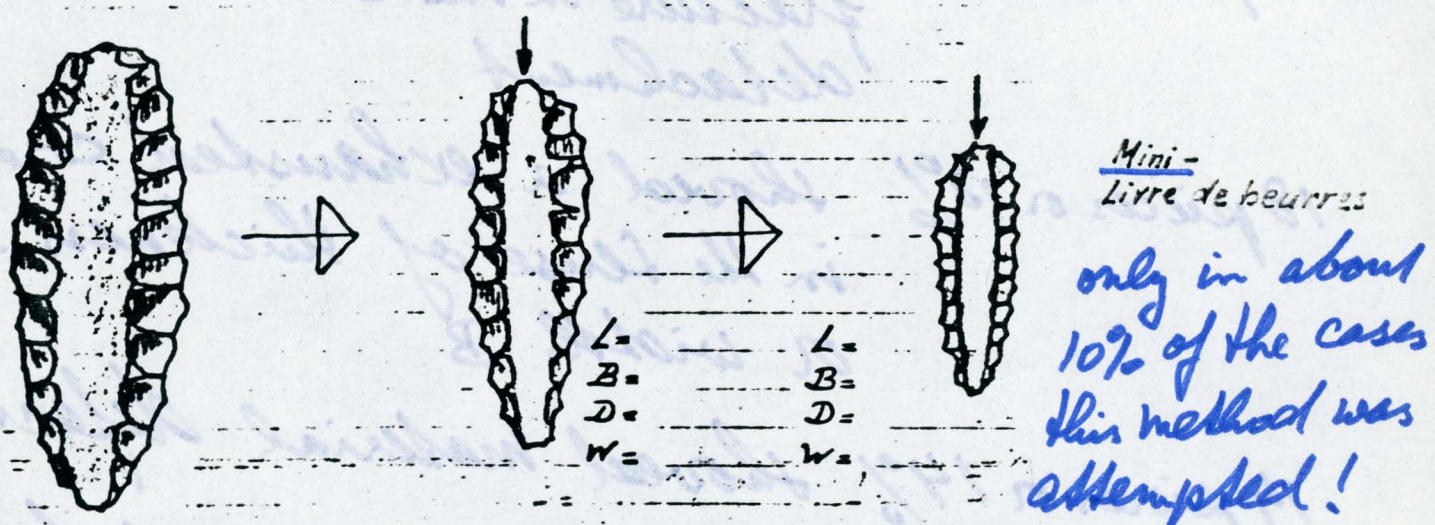
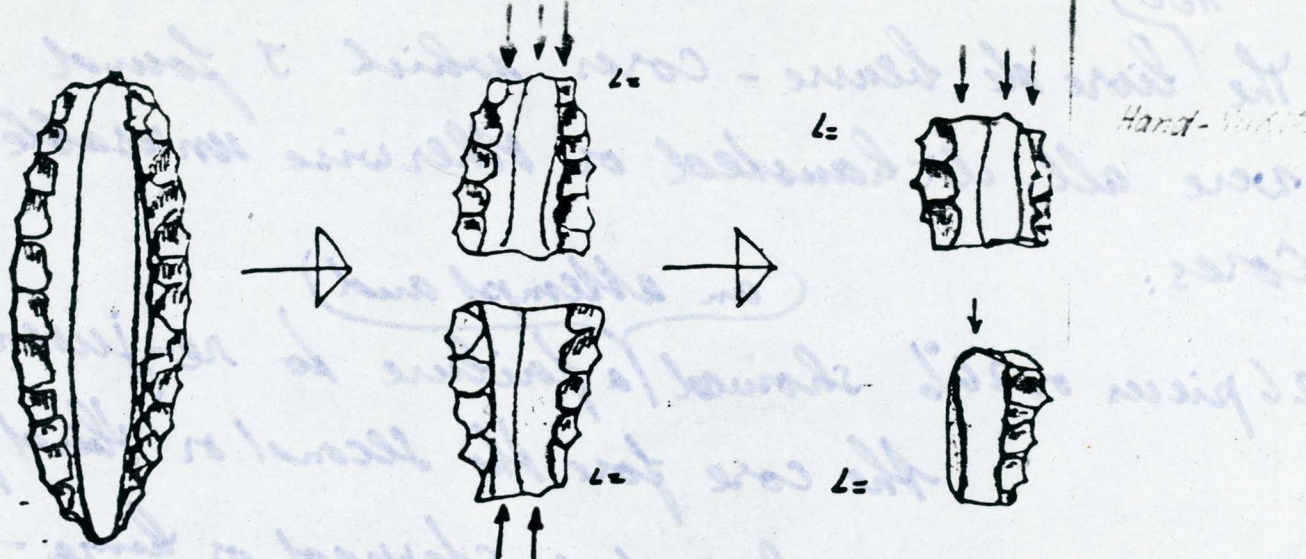


Abb. 9 WEITERVERWERTUNG VON ENDNUKLEI ZUR GEWINNUNG KÜRZERER KLINGEN

There are 3 ways to utilize "wast" or abandoned cores

(100)

The "livre de bourse" cores which I found were all exhausted or otherwise unusable cores.

(an attempt and)

26 pieces or 26% showed a failure to re-juvenate the core for the second or third phase

22 pieces or 22% showed a stepped or hinge-fracture in the last blade detachment

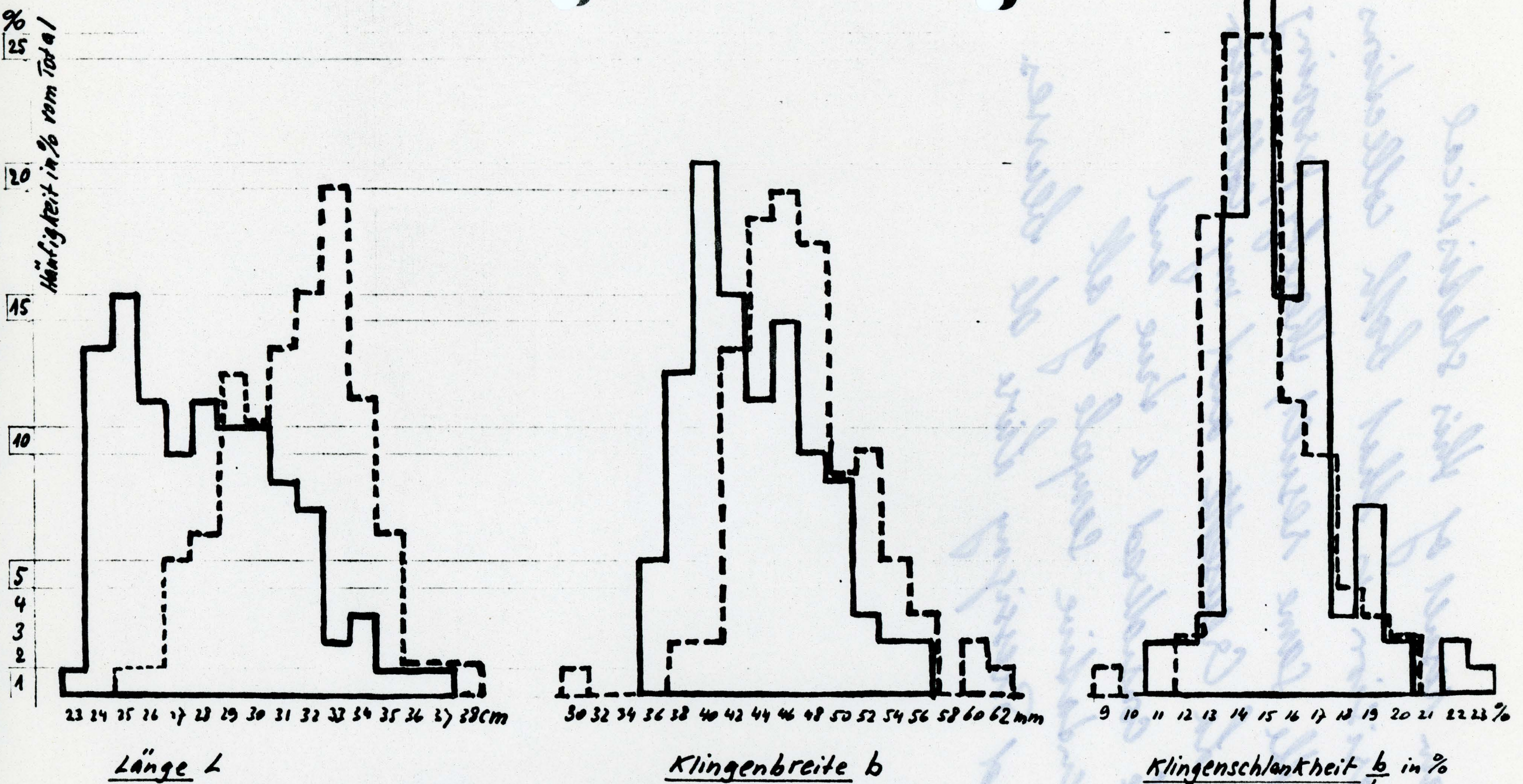
18 pieces or 18% showed a exhausted core in the sense of thickness D or width B

14 pieces or 14% showed material defects

20 pieces or 20% no diagnosis could be made. In half of these cases, the core was too short! or voluntarily given up?

It is obvious, that cores) below 24 cm length were not desired!! (or blades)

Two hundred or "trees", will do you & us well



Länge L

Klingenbreite b

Klingenschlankheit $\frac{b}{L}$ in %

comparision between cores and blades

Abb. 10 VERGLEICH DER FUNDKOMPLEXE "LA CREUSETTE" MIT DEM "FUNDINVENTAR"

— "Fundinventar" = my collection of cores

--- "La Creusette" = 104 blades of La Creusette.

Siehe Lit. 1, 22, 72.

The main result of this statistical comparison is that both collections show the same result, thereby proving that La Creusette and my collection can be considered a true and representative sample of all Grand Pressigny Livre de beurres.

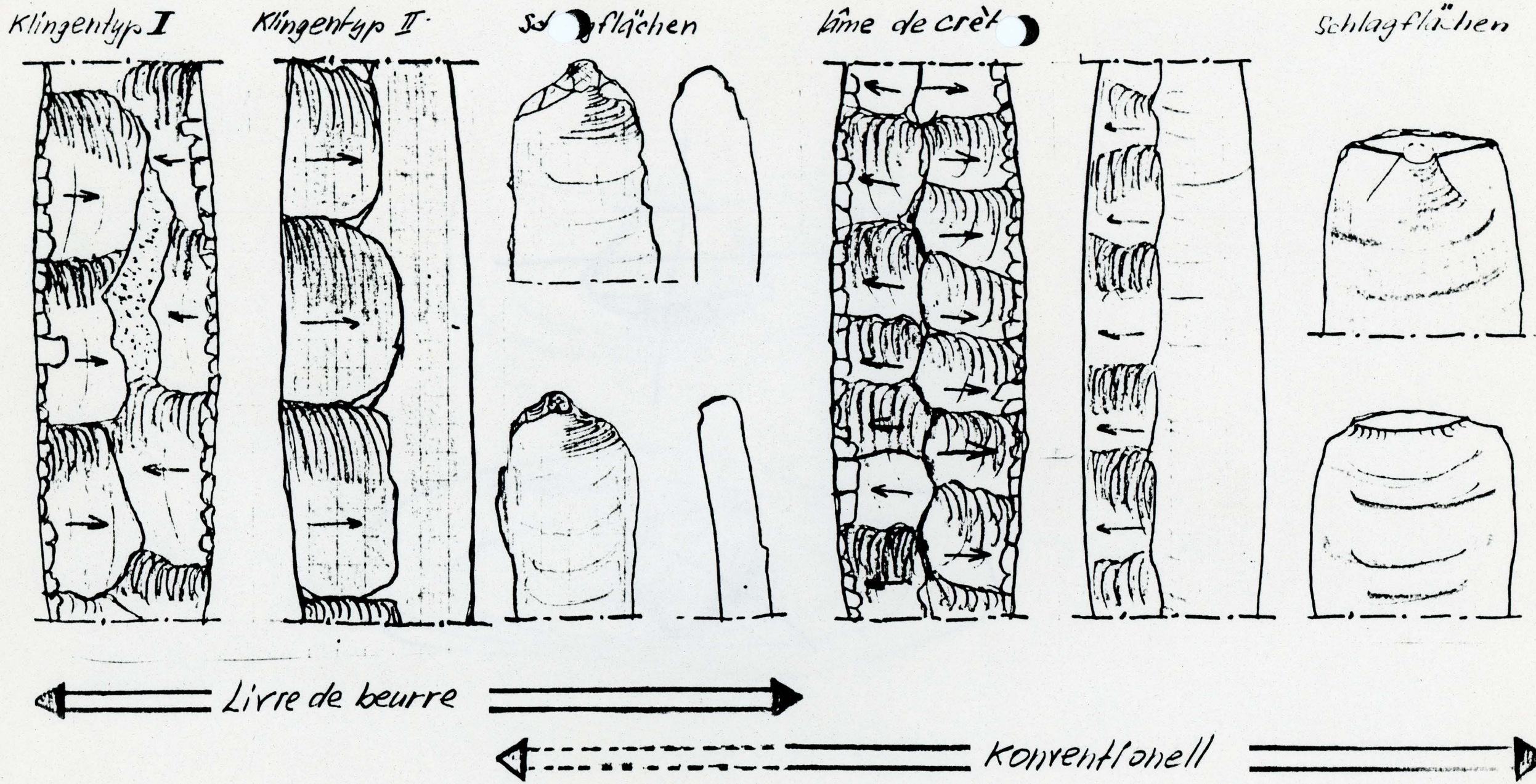


Abb. 11 MERKMALE ZUR ERKENNUNG DER KLINGENTECHNIK
 DIAGNOSIS OF LIVRE DE BEURRE-BLADES AS COMPARED
 TO BLADES MADE WITH CONVENTIONAL TECHNOLOGIES

TYPE OF ZEAE - RYNAEAE & RYNAEAE
SUBDIVISIONS AND SUBSPECIES

